

Spektralanalyse physiologischer Signale

Dr. rer. nat. Axel Hutt

Vorlesung 6

zum Übungsblatt

Aufgabe 2:

$$S_{\alpha\alpha}(\nu) = \sum_{j,k} \tilde{G}_{\alpha,j}(\nu) \tilde{G}_{\alpha,k}^*(\nu) \kappa_{jk}^2$$

$$E[I_2(t)I_2(t')] = \kappa^2 \delta(t - t')$$

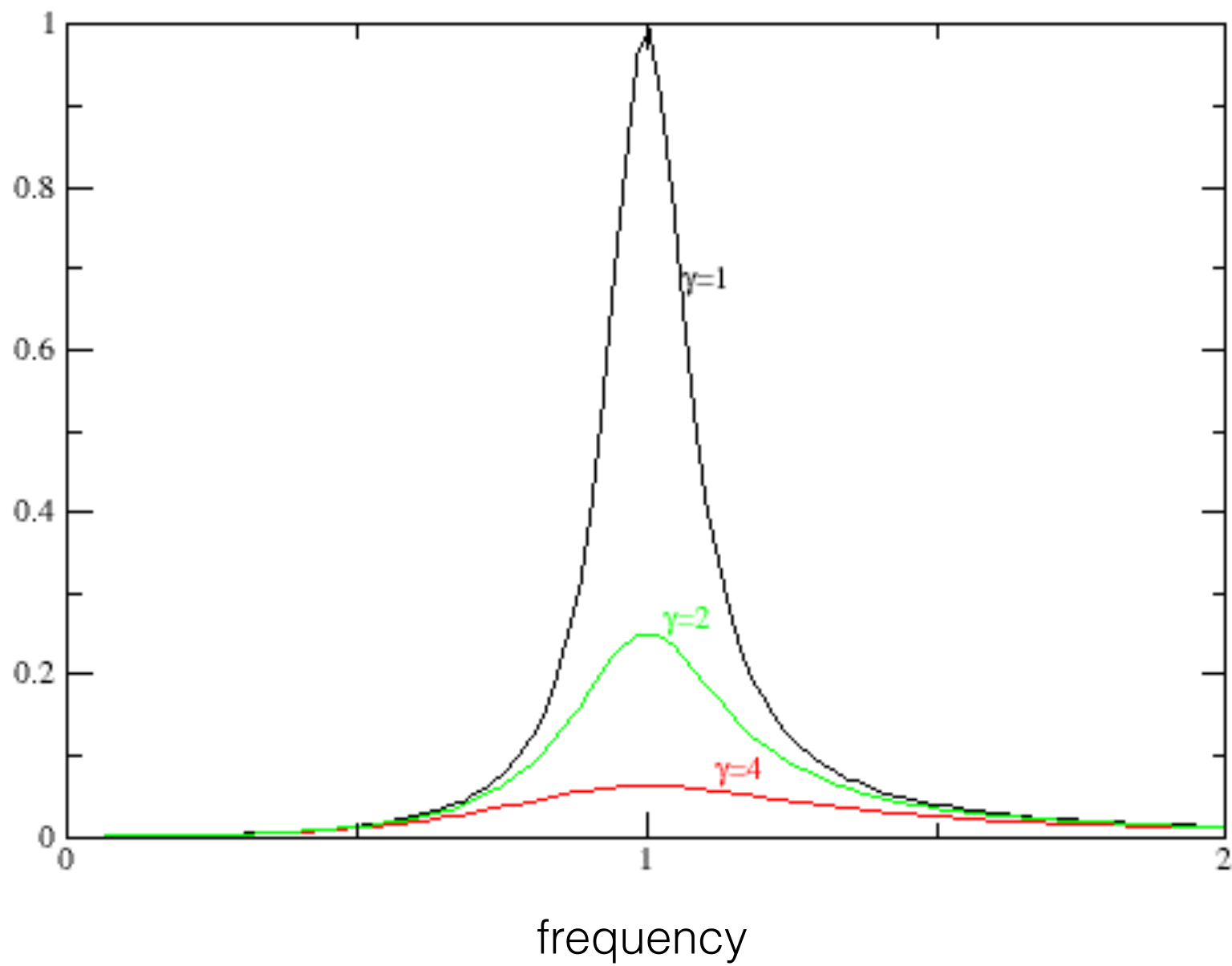
$$E[I_i(t)I_j(t')] = 0 \quad \text{sonst}$$

$$\rightarrow \kappa_{22}^2 = \kappa^2, \quad \kappa_{22}^2 = 0 \quad \text{sonst}$$

$$S_{22}(\nu) = |\tilde{G}_{22}(\nu)|^2 \kappa^2$$

$$\tilde{G}_{22}(\nu) = \frac{i2\pi\nu}{i2\pi\nu(i2\pi\nu - \gamma) + \omega^2}$$

$$S_{22}(\nu) = \frac{\kappa^2 \nu^2}{4\pi^2 \nu^4 + (\gamma^2 - 2\omega^2)\nu^2 + \omega^4/4\pi^2}$$



weiter mit Vorlesung 6

II.3. Berechnung von Spektren

a) Definitionen

b) Periodogram+ Bartlett-Welch Methode

c) multi-taper Methode

III. Zeit-Frequenz Analyse

Bartlett und Welch Methode :

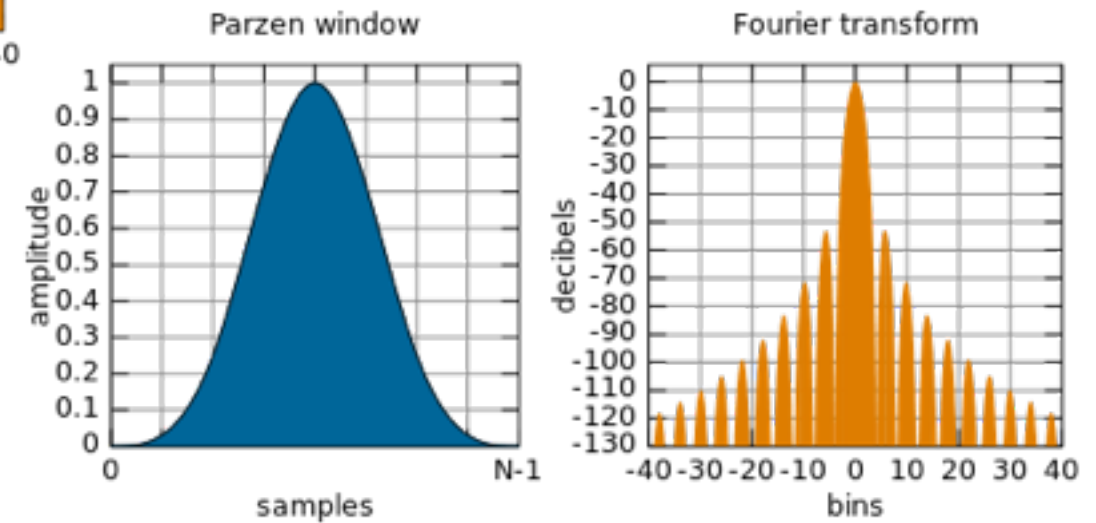
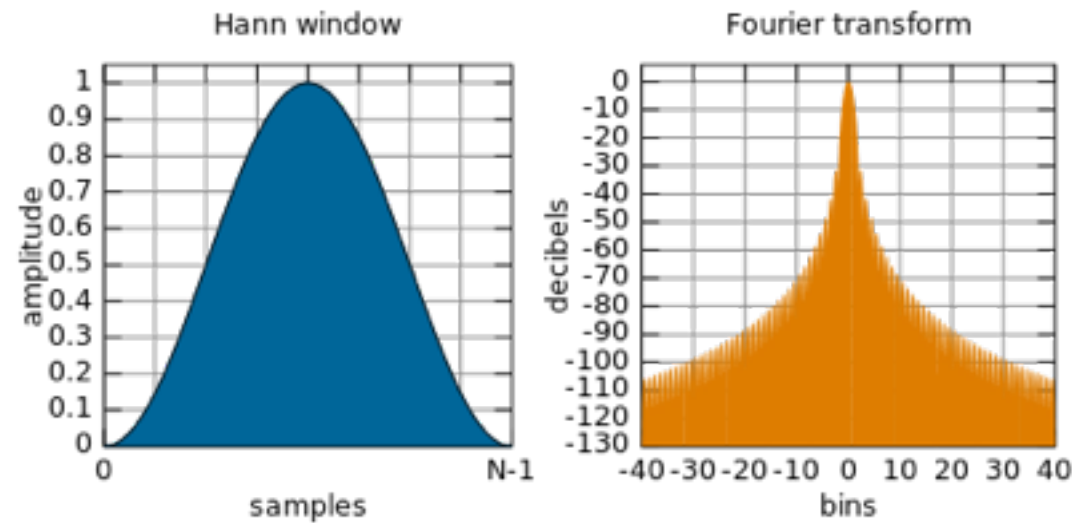
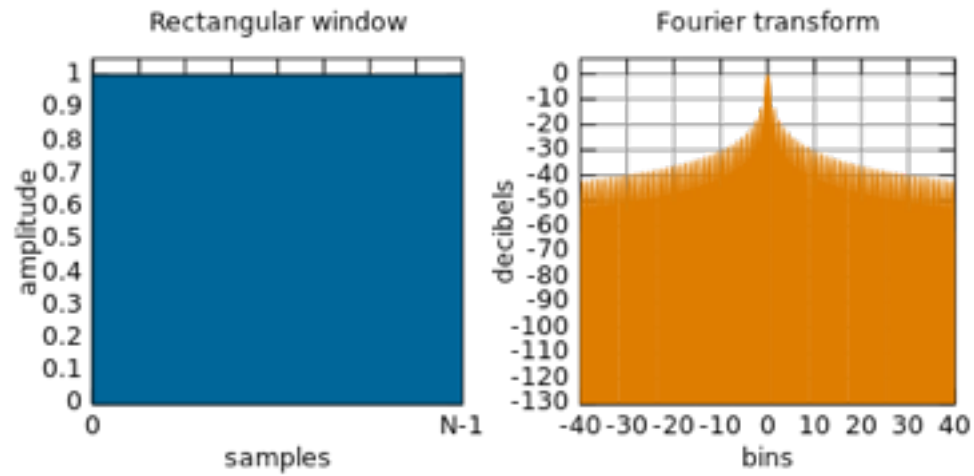
- Scharmittel über Realisierungen
- Annahme von ausreichend langen Zeitserien
- nicht anwendbar auf kurze Zeitserien

Multitaper

- Mittel über dieselbe Zeitserie
- Mittel über orthogonale Fensterfunktionen, sog. *data tapers*

Frage: welche Fensterfunktionen sind optimal ?

Erinnerung: verschiedene Fensterfunktionen



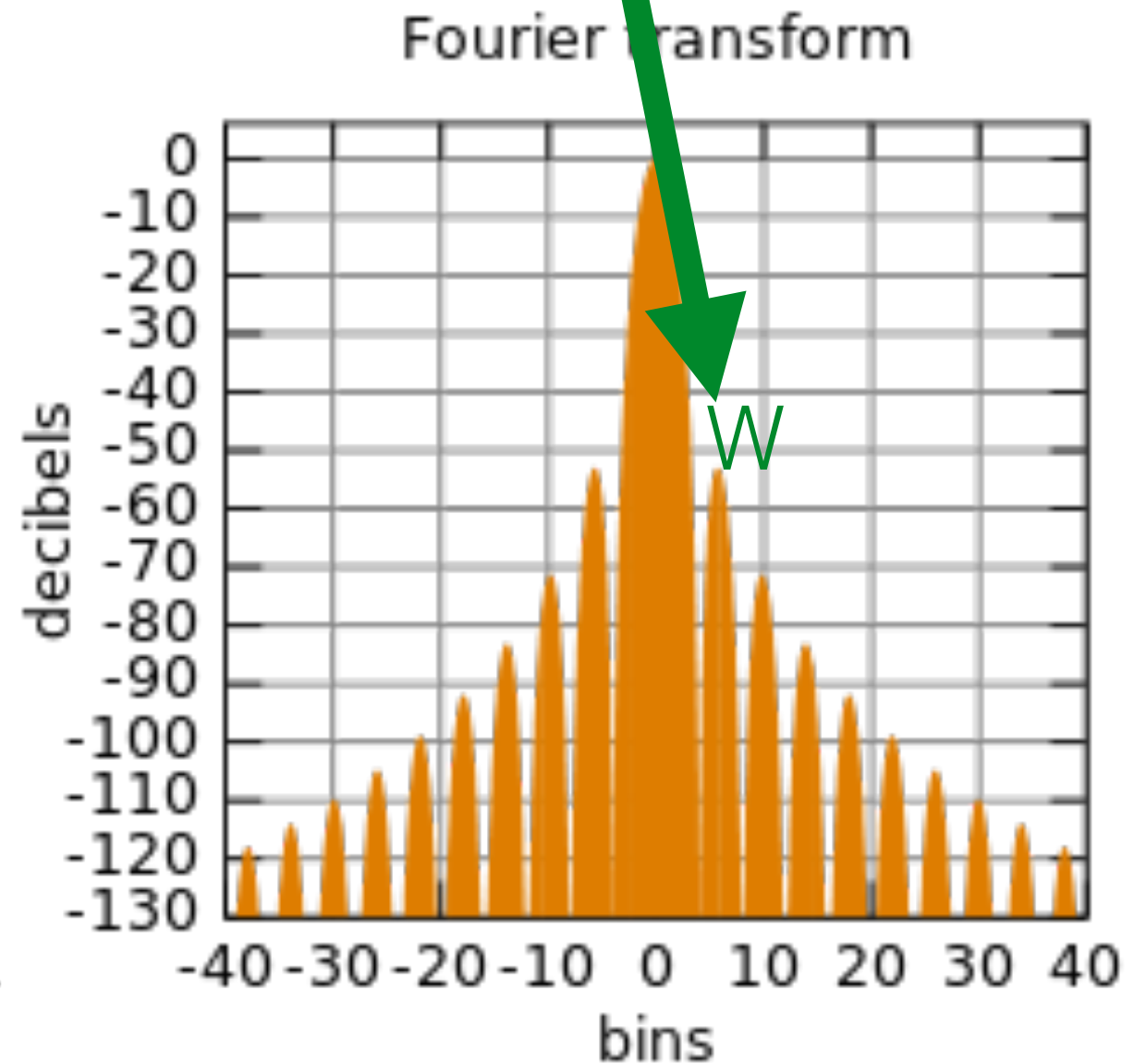
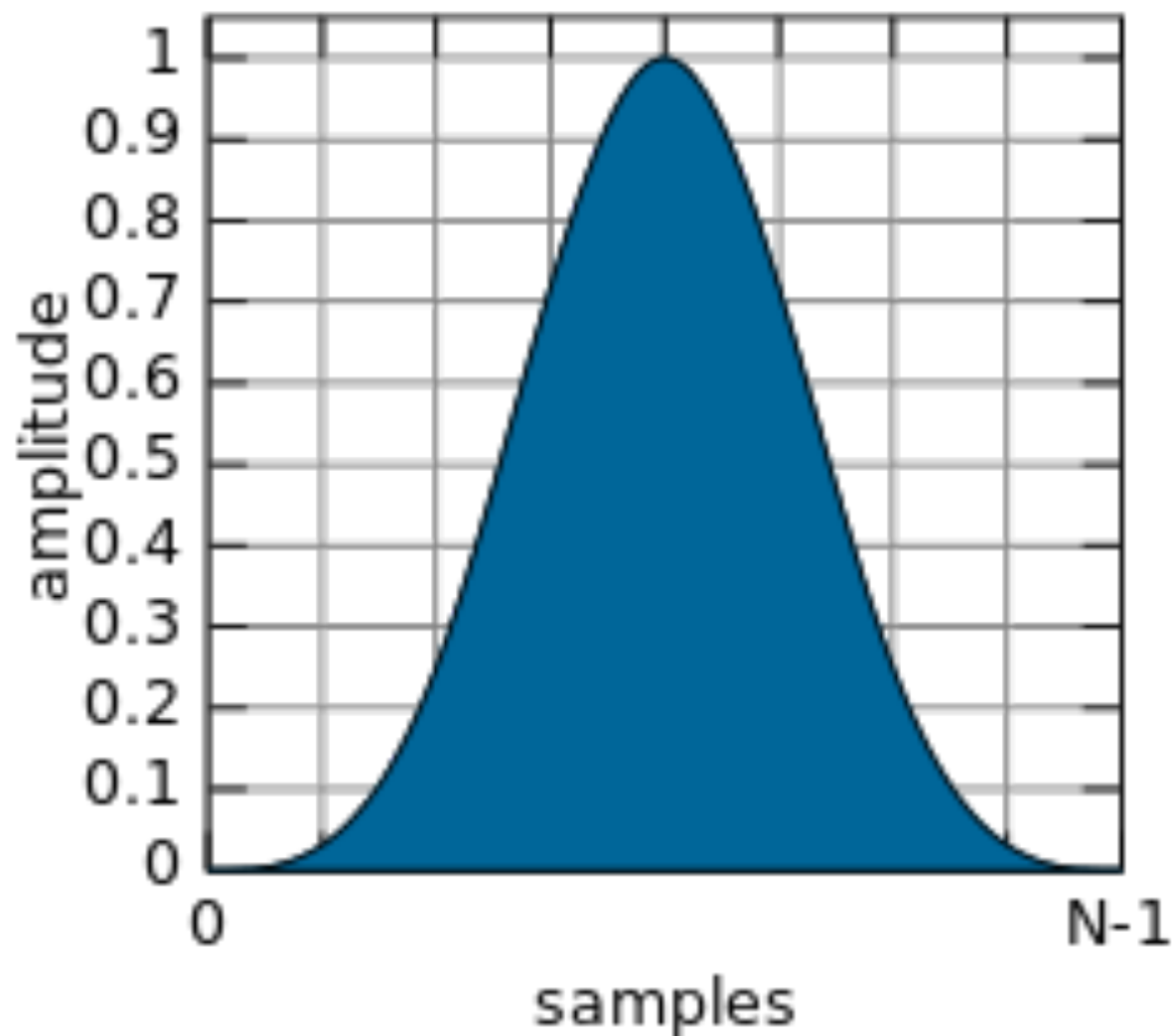
Optimierung der Fensterfunktionen

= Minimierung der spektralen Seitenbänder



Spektrale Konzentration - Problem

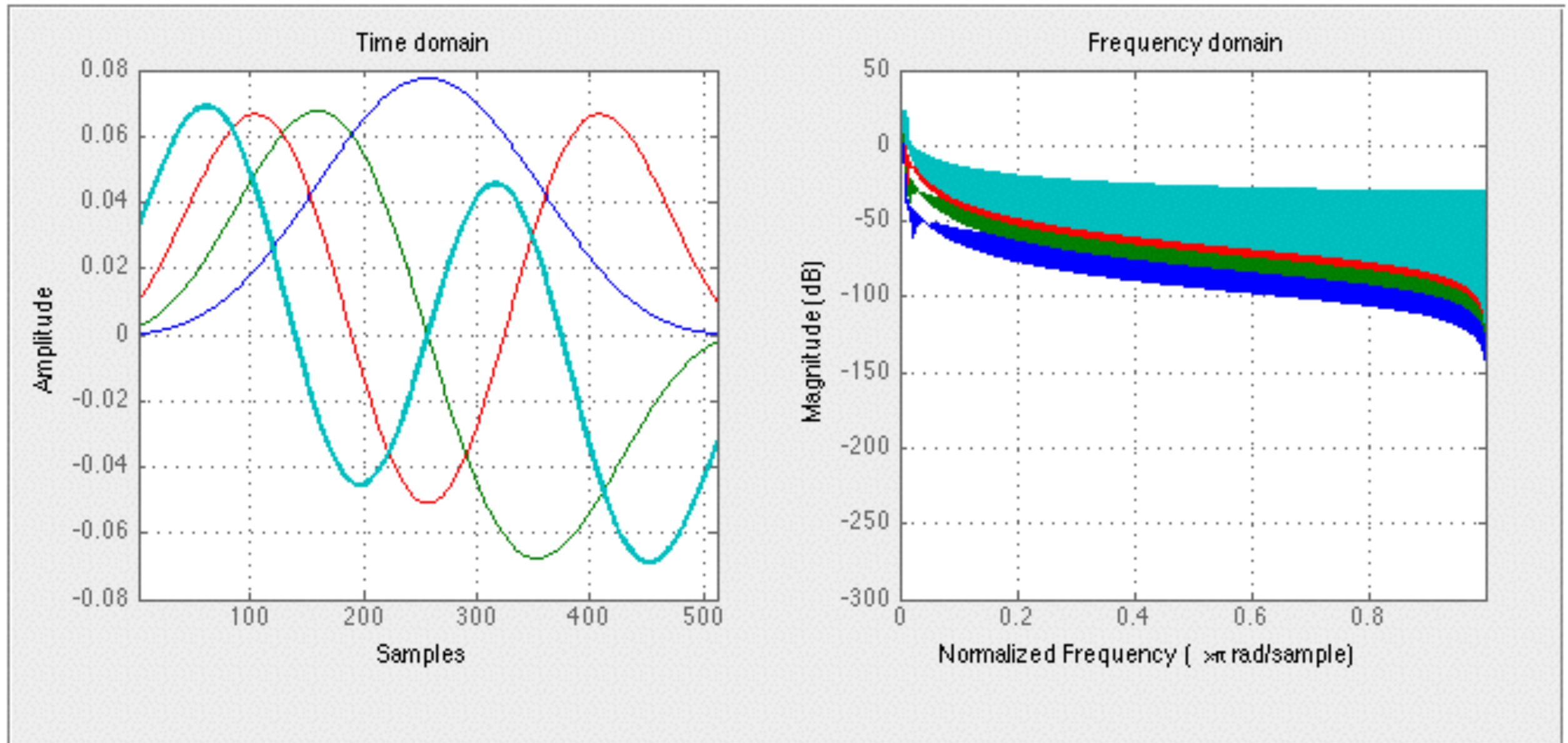
spektrales Seitenband



Lösung:

- gegeben: Grenzfrequenz W and T Datenpunkte
- es gibt $n=2WT$ orthogonale optimale Fensterfunktionen
- diese *data tapers* sind n *Slepian sequences*
- Mittel von *data taper*-gewichteten Periodogrammen über n *data taper*

zur Illustration: 4 Slepian sequences



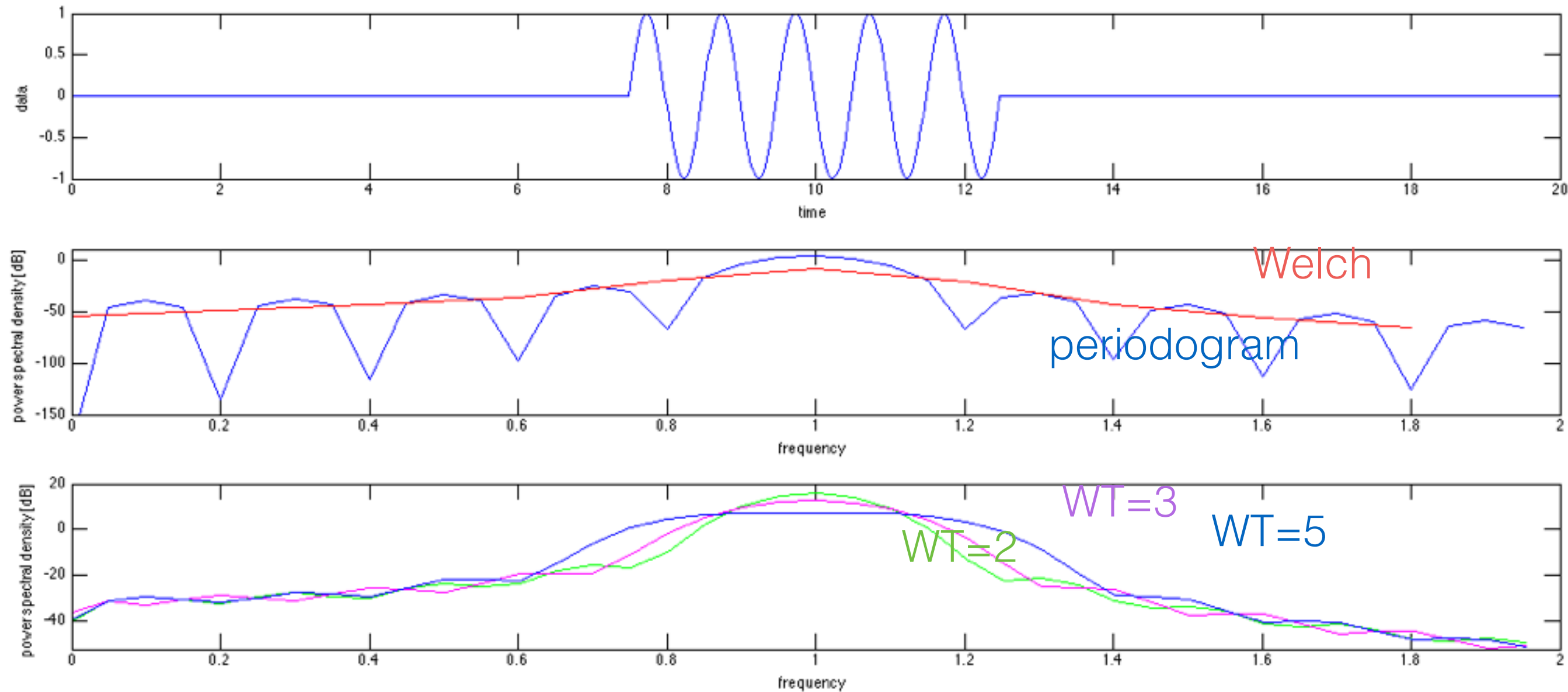
$$W = w \Delta f = \frac{w}{T}$$

w: Vielfaches der
unteren Grenzfrequenz

$$n = 2 \frac{w}{T} T = 2w$$

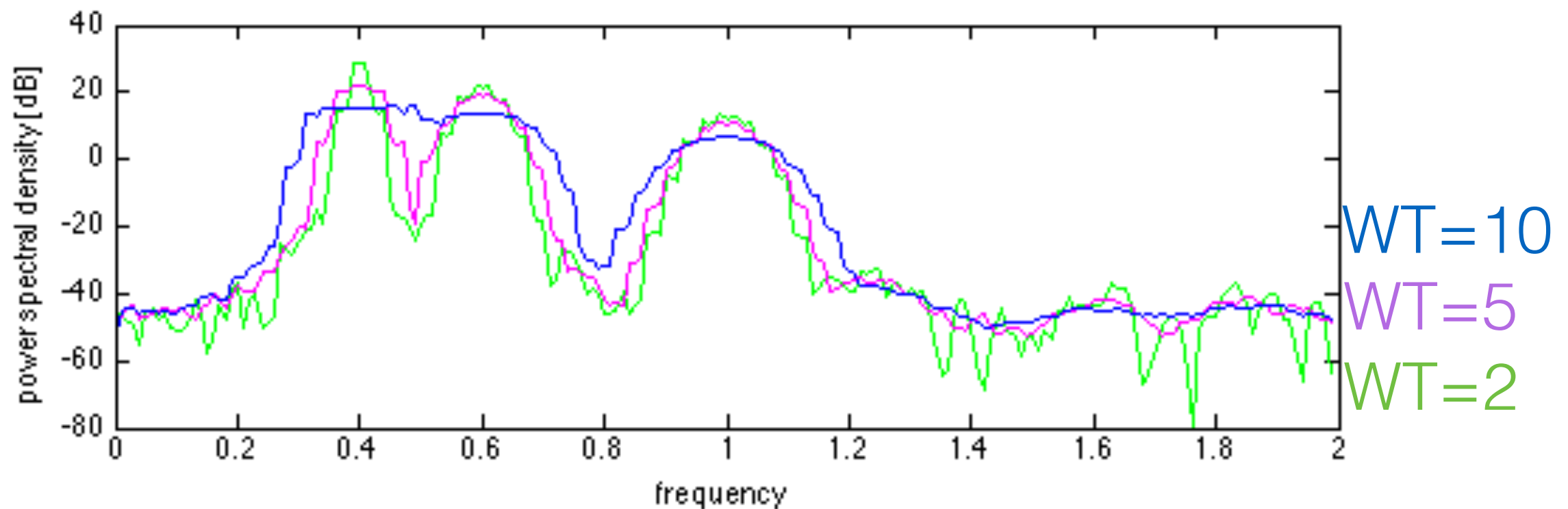
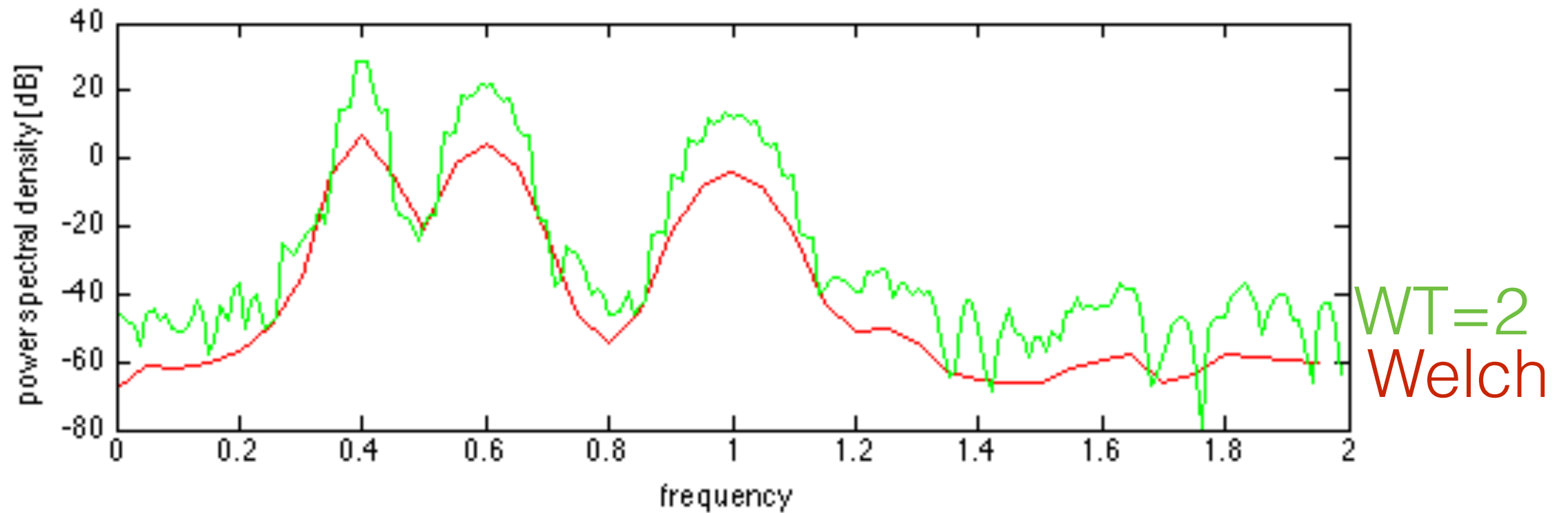
optimale Anzahl von *data taper*

Reduzierung von *spectral leakage*



(Fourier_13.m)

Beispieldaten: transiente Oszillationen



(Fourier_12.m)

aus Praxis: optimale Anzahl von *taper* ?

wähle spektrale Grenzfrequenz W

dann ist die optimale Anzahl

$$n = 2 W T.$$

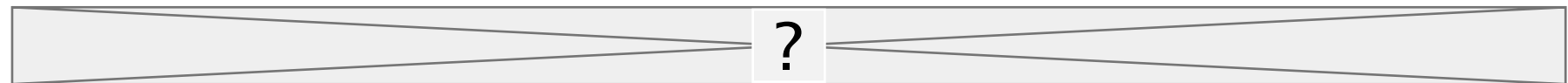
effiziente Berechnung der DFT:

Fast Fourier Transform (FFT)

effiziente Berechnung der DFT:

Fast Fourier Transform (FFT)

- effiziente Implementierung der DFT
- Radix-2 Algorithmus (Cooley und Tukey, 1965) für



- Radix-4 Algorithmus (schneller als Radix-2) für



- Methoden sind anwendbar auf
- Bedingungen an Analyse mittels Fourierreihe
- Sampling und endliche Zeitfenster führen zu Fehlern in Fourieranalyse
- Lineare Antwort-Theorie
- konkrete Methoden zur Berechnung des PSD
- **lineare Filter**

Lineare Filter

$$s(t) = \int_{-\infty}^t H(t - \tau) I(\tau) d\tau$$

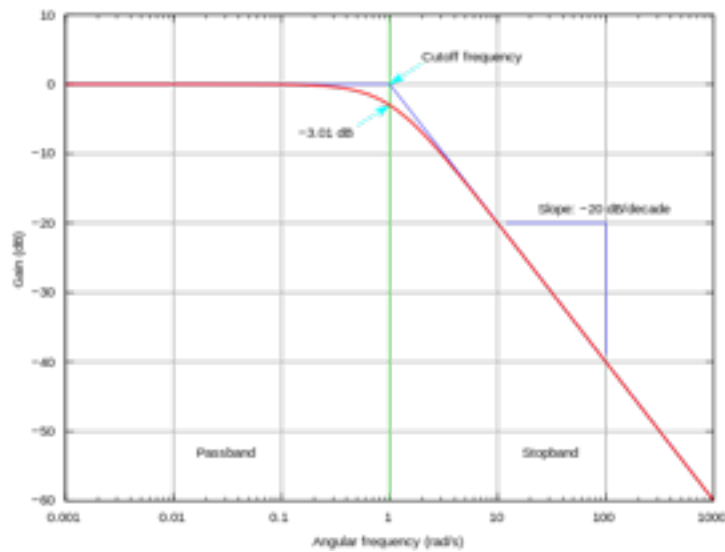
H: Filterfunktion

$$\tilde{s}(f) = \tilde{H}(f) \tilde{I}(f) \quad \text{spektraler Filter}$$

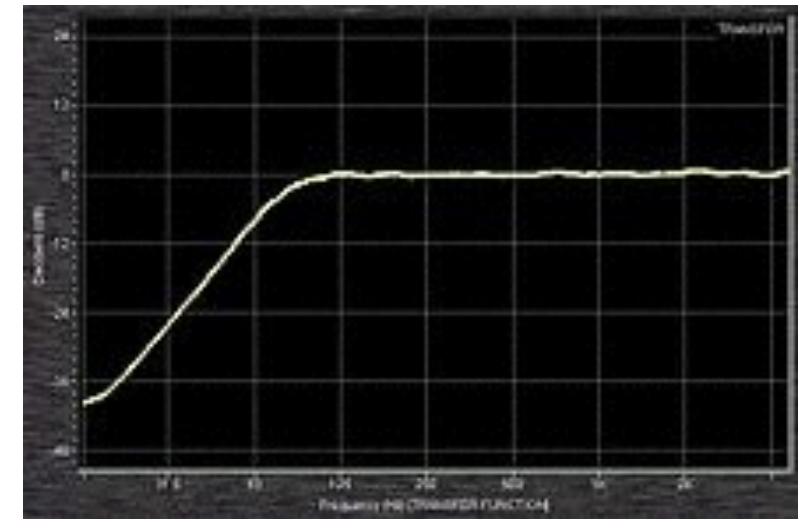
$$\text{PSD} \sim |\tilde{H}(f)|^2 |\tilde{I}(f)|^2$$

Die Impulsantwort-Funktion $H(t)$ definiert den Filtertyp, e.g.

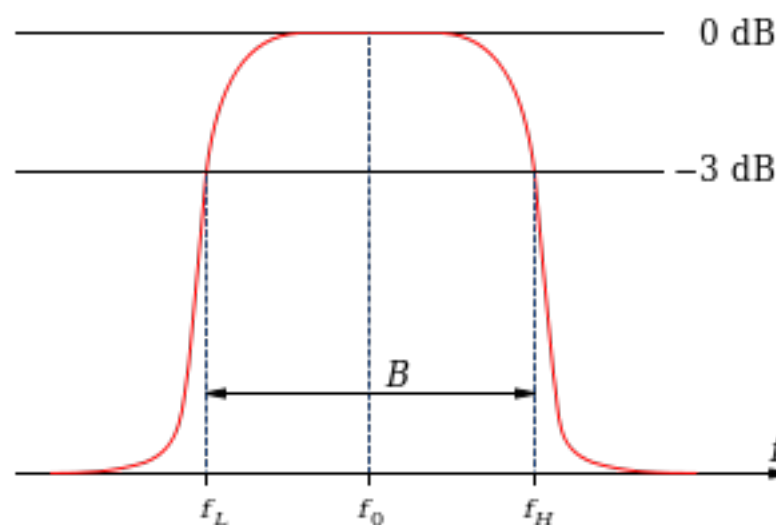
Tiefpassfilter



Hochpassfilter



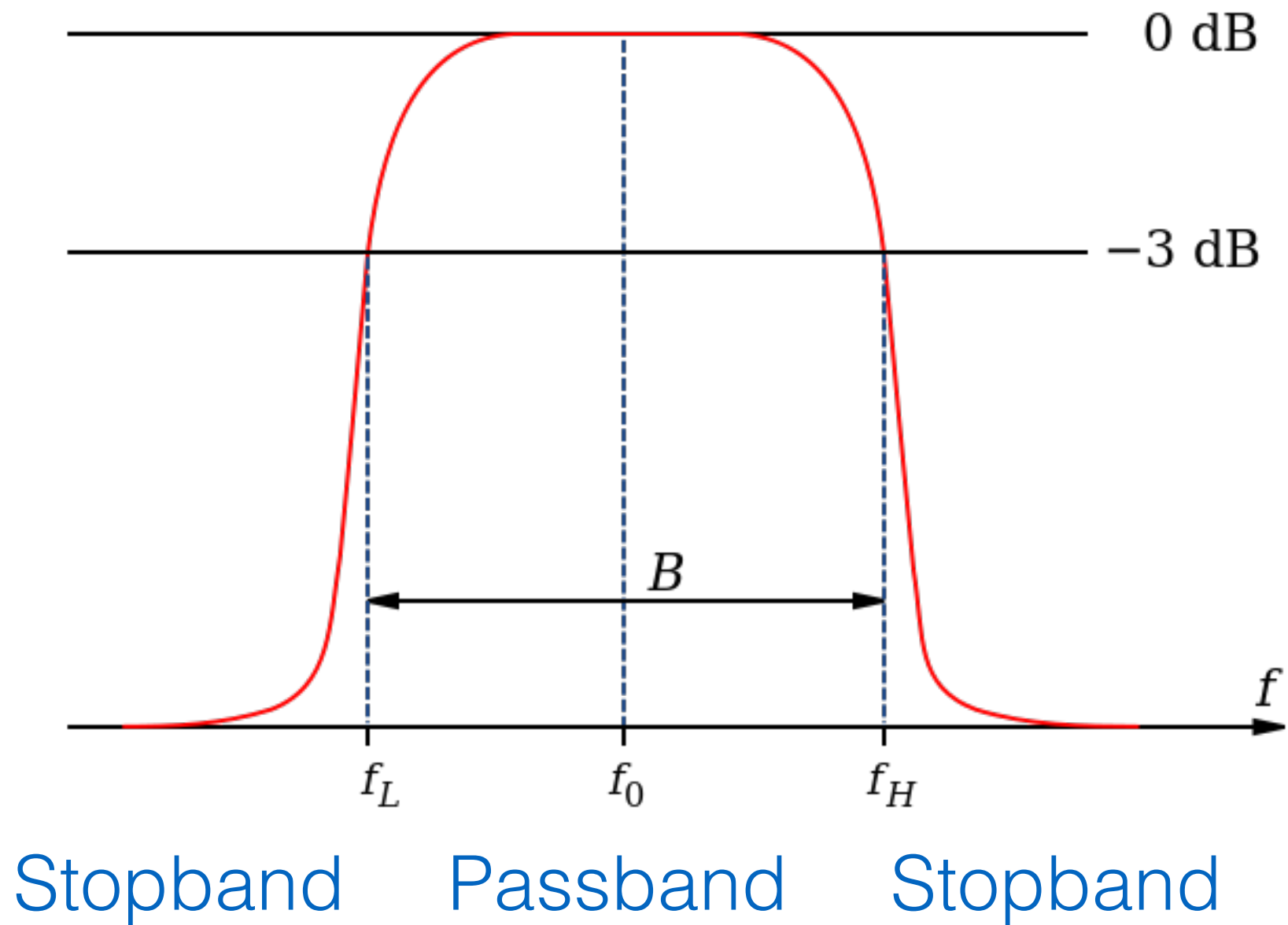
Bandpassfilter



- falls die Impulsantwort-Funktion hat *unendliche* Dauer:
Filter heißt **Infinite Impulse Response (IIR)** - Filter

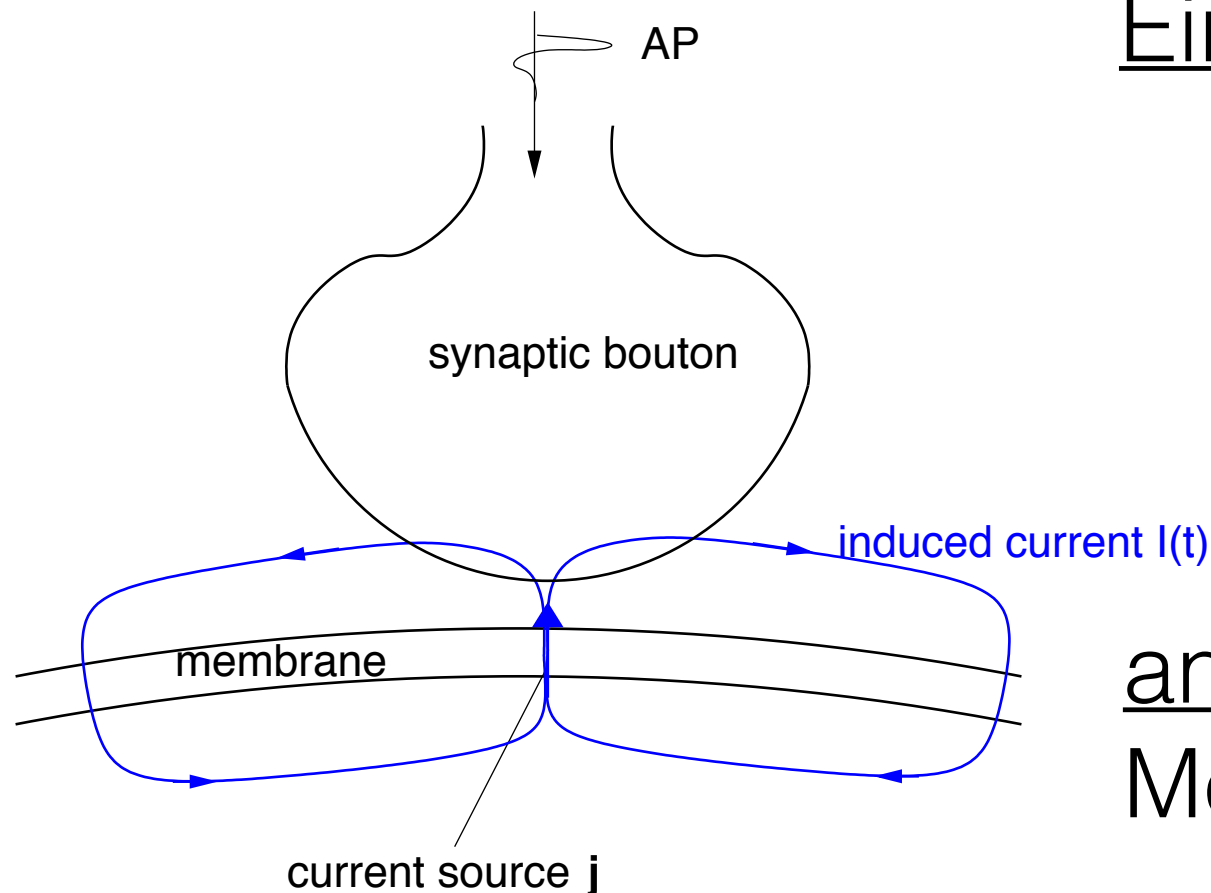
$$s(t) = \int_0^{\infty} H(\tau) I(t - \tau) d\tau$$

weitere Begriffe



1. Beispiel: Tiefpass-Filter

einzelne Synapse



induzierter Strom

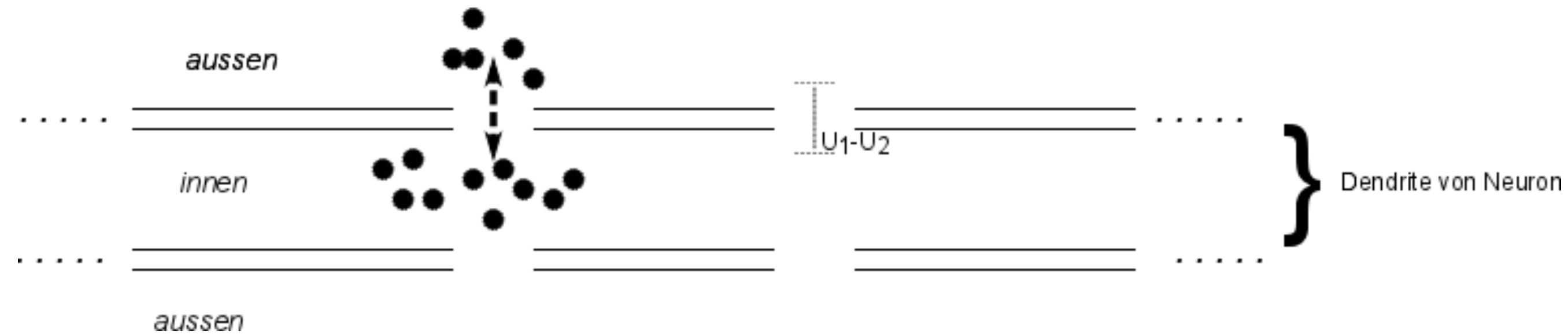
Eingang: Folge von spikes

$$I(t) = \sum_i I_0 \delta(t - t_i) , \quad t_{i+1} > t_i$$

antwortendes System:
Membran mit Ionenkanal

Ausgang: Membranspannung

$$V = V(t) ?$$



Membran als Kondensator:

$$CV(t) = Q(t) \rightarrow C \frac{dV}{dt} = I_C(t) \quad \text{Strom durch Membran}$$

Kirchhoff-Gesetz:

$$C \frac{dV}{dt} + g(t)(V - E_s) + g_L(V - E_L) = 0$$

↑
Strom durch Synapse

↑
Leckstrom durch andere Ionenkanäle

Leitfähigkeit $\frac{dg(t)}{dt} = -\alpha g(t) + \alpha I(t)$

$$C \frac{dV}{dt} = -g_L(V - E_L) - g(t)(V - E_s)$$

ohne Eingangssignal:

$$C \frac{dV}{dt} = -g_L(V - E_L)$$

Ruhezustand:

$$\frac{dV}{dt} = 0 \quad : \quad V_r = E_L$$

Näherung:

$$g(t)(V - E_s) \approx g(t)(V_r - E_s)$$

$$C\frac{dV}{dt} = -g_L(V - E_L) - Kg(t)$$

$$K = V_r - E_s$$

$$u(t) = V(t) - V_r$$

$$\left(\frac{C}{g_L}\right)\frac{du}{dt} = -u(t) - \frac{K}{g_L}g(t)$$

$$\frac{dg(t)}{dt} = -\alpha g(t) + \alpha I(t)$$

$$t \rightarrow \infty : u(t) = \frac{K}{g_l} \int_{-\infty}^t H(T - \tau) g(\tau) d\tau$$

$$g(t) = \alpha \int_{-\infty}^t e^{-\alpha(t-\tau)} \sum_i \delta(\tau - t_i) d\tau$$

$$= \alpha \sum_i e^{-\alpha(t-t_i)}$$

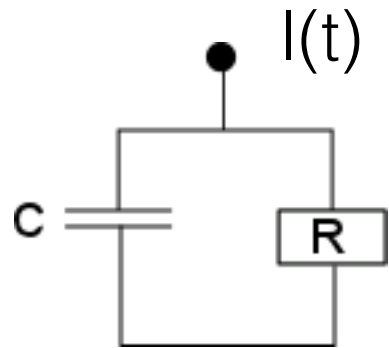
Annahme: spikes treten regelmäßig auf mit Rate F , $\alpha \rightarrow \infty$

$$E \left[\sum_{i,j} \delta(t - t_i) \delta(t' - t_j) \right] = F \delta(t - t')$$

→ $S_u(f) = \frac{I_0 \gamma^2 F}{1 + 4\pi^2 \beta^2 f^2}$ (Übungen)

Synapse ist Tiefpassfilter

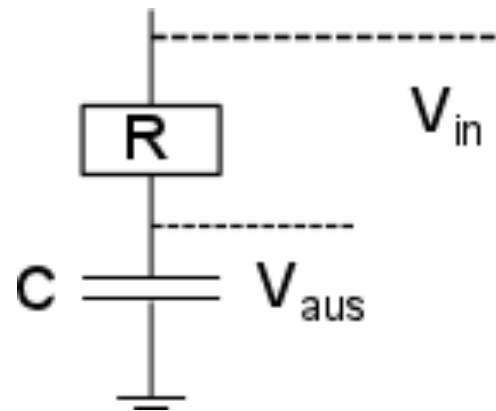
Ersatzschaltkreis:



$$C \frac{dV}{dt} + \frac{V(t)}{R} = I$$

Tiefpass $C \frac{dV}{dt} = -gV(t) + I$

oder:



$$I_R = \frac{V_R}{R}, I_C = C \frac{dV_{aus}}{dt}$$

$$I_R = I_C, V_{in} = V_R + V_{aus}$$

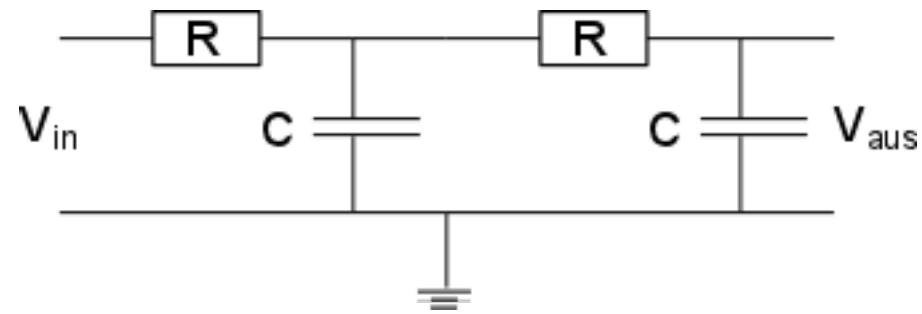
Tiefpass 1. Ordnung $\frac{dV_{aus}}{dt} = -\frac{1}{RC} V_{aus}(t) + \frac{V_i(t)}{RC}$

im Fourierraum:

$$\frac{\tilde{V}_{aus}(f)}{\tilde{V}_{in}(f)} = \frac{1}{i2\pi RCf + 1}$$

$$\left| \frac{\tilde{V}_{aus}(f)}{\tilde{V}_{in}(f)} \right| = \frac{1}{\sqrt{1 + 4\pi^2 R^2 C^2 f^2}}$$

Tiefpass 2. Ordnung



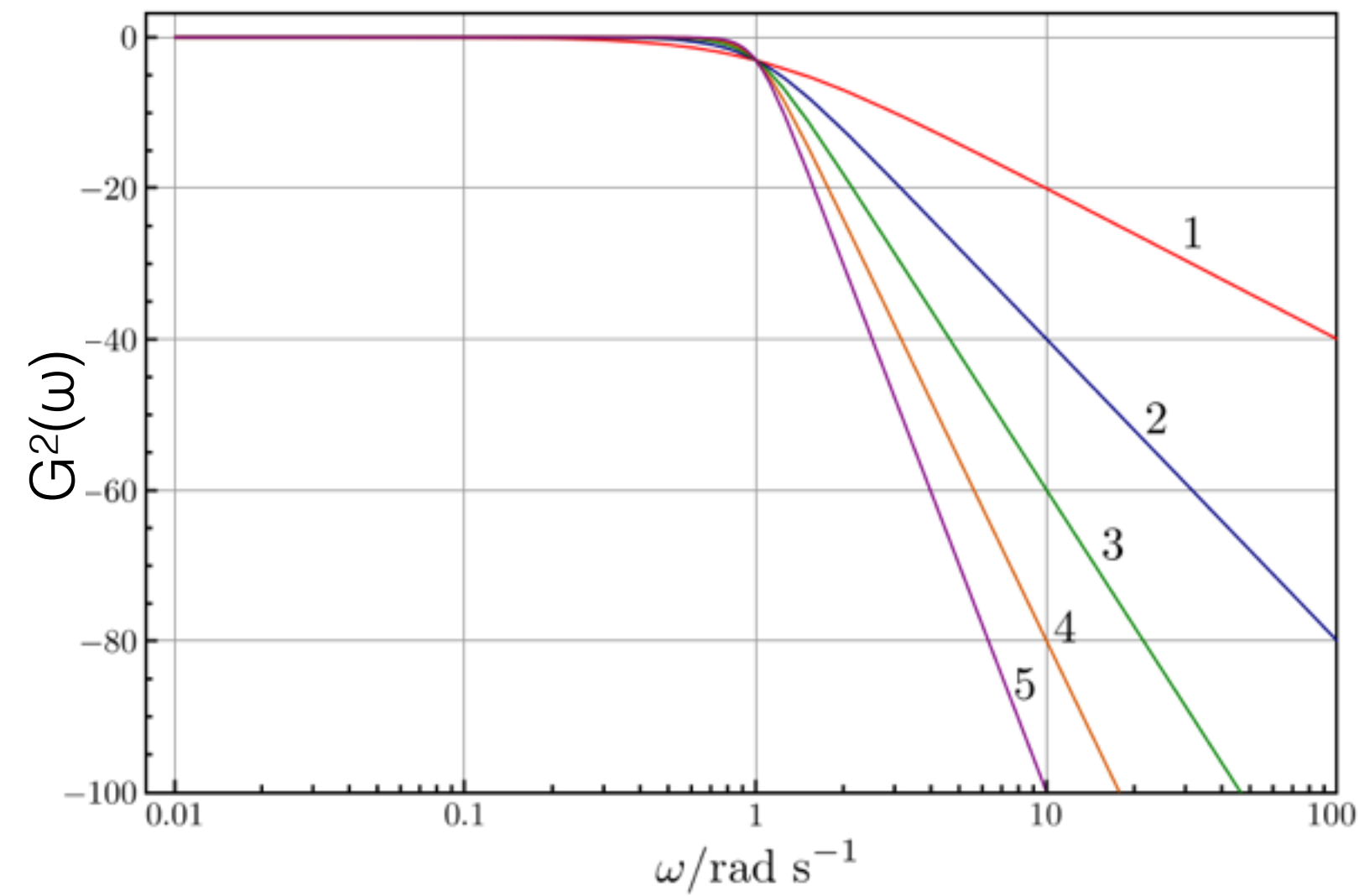
$$\left| \frac{\tilde{V}_{aus}(f)}{\tilde{V}_{in}(f)} \right| = \frac{1}{1 + 4\pi^2 R^2 C^2 f^2}$$

weiteres Beispiel für Tiefpassfilter

Butterworth-Filter

Ein B.-Filter ist maximal glatt im Passband und nähert sich 0 im Stopband

$$G^2(\omega) = |H(i\omega)|^2 = \frac{G_0^2}{1 + \left(\frac{\omega}{\omega_c}\right)^{2n}}$$



ω_c : cut-off Frequenz

ω : Winkelfrequenz

n : Ordnung des Filters

H : Fouriertransformierte
Impulsantwort-Funktion

$$|H(z)|^2 = \frac{G_0^2}{1 + \left(\frac{-z^2}{\omega_c^2}\right)^n}$$

betrachte:

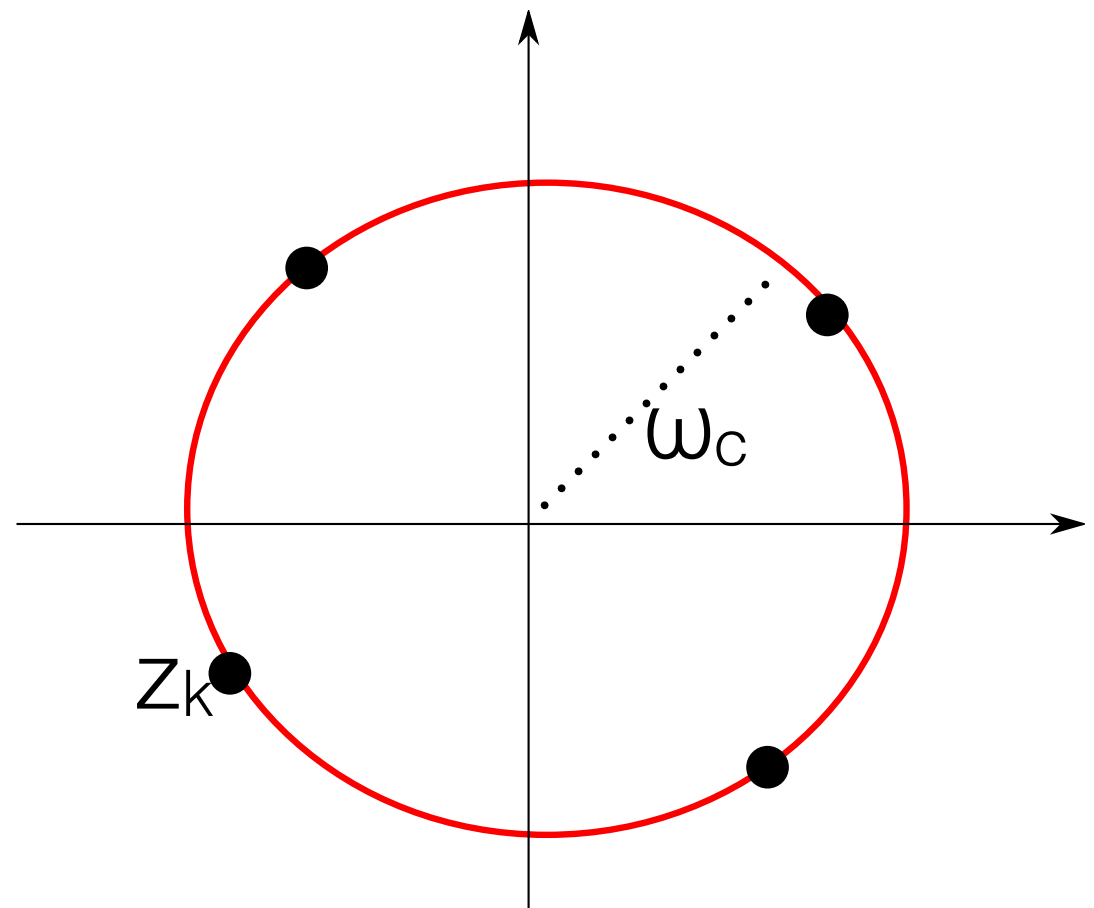
$$1 + \left(\frac{-z^2}{\omega_c^2}\right)^n = 0$$

$$(-1)^{\frac{1}{n}} = \frac{-z^2}{\omega_c^2}$$

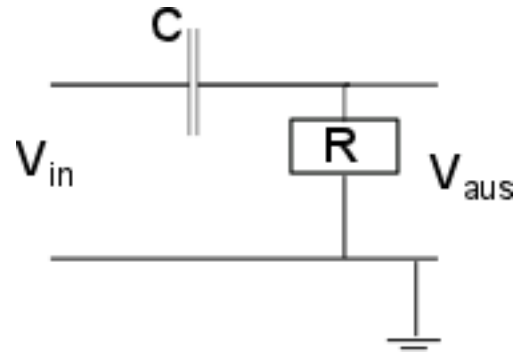
$$(-1)^{\frac{1}{n}} = e^{i\pi \frac{(2k-1)}{n}}, \quad k = 1, 2, \dots, n$$

$$\longrightarrow z_k = \omega_c e^{i\pi \frac{2k-n-1}{2n}}$$

$$H(z) = \frac{G_0}{\prod_{k=1}^n (z - z_k) / \omega_c}$$

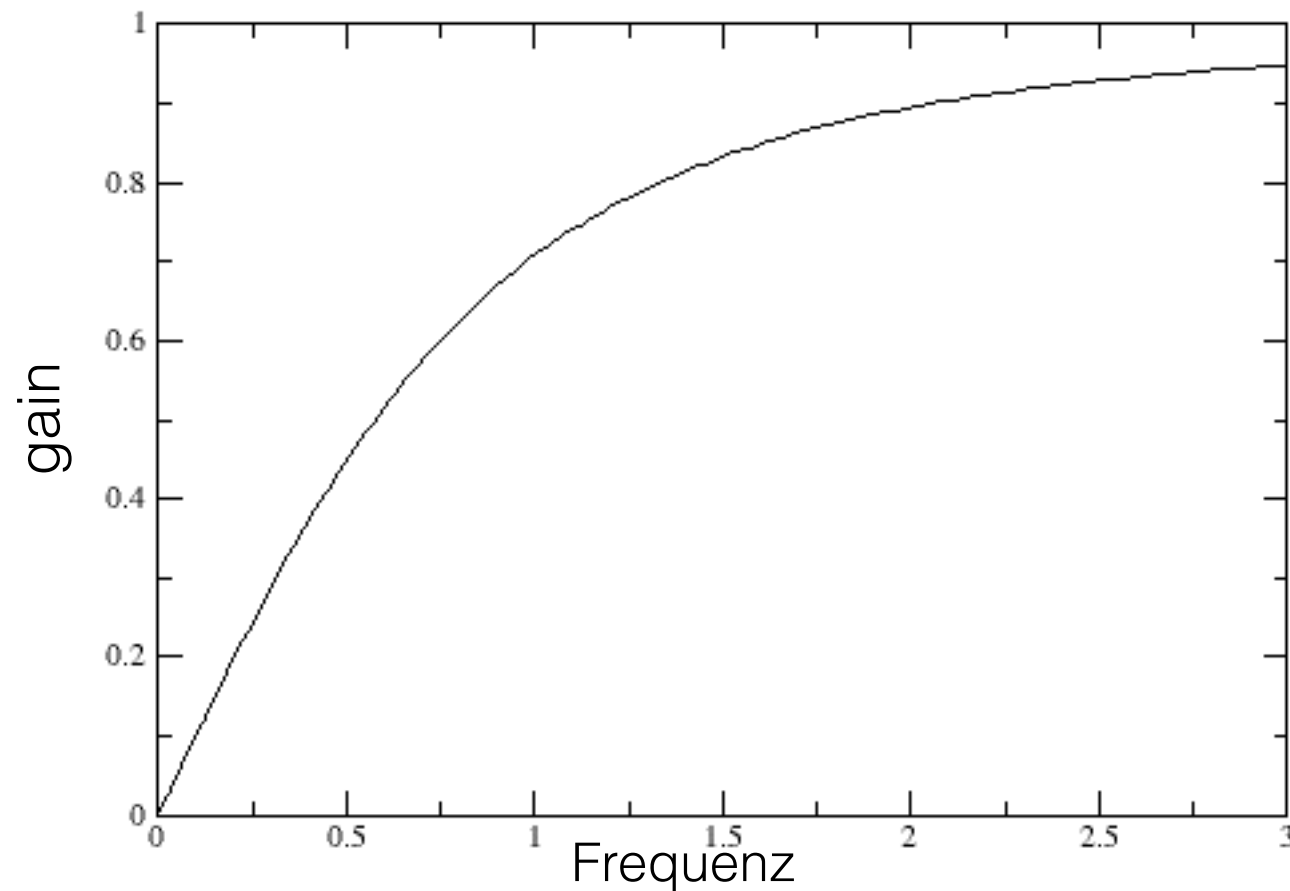


Hochpass Filter:

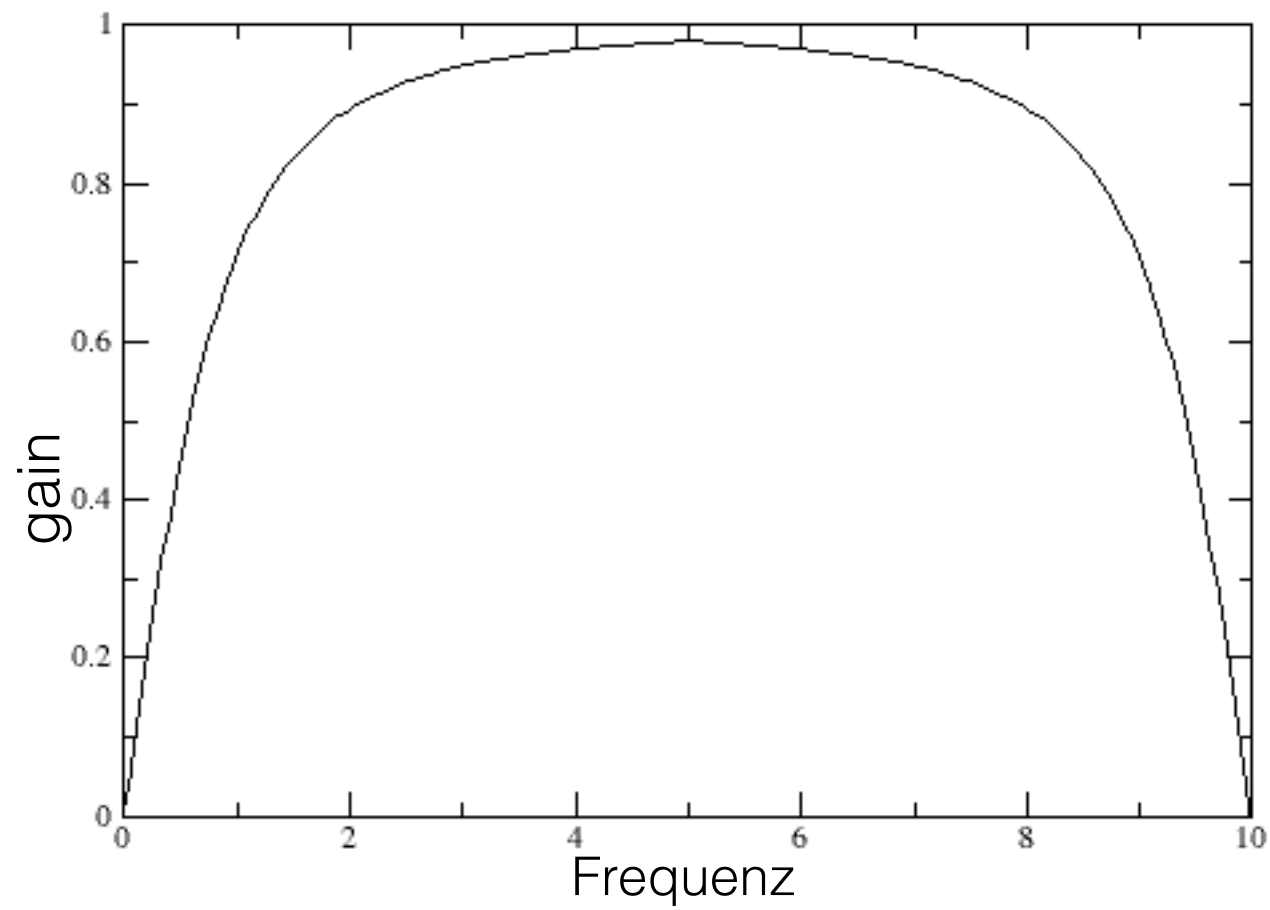
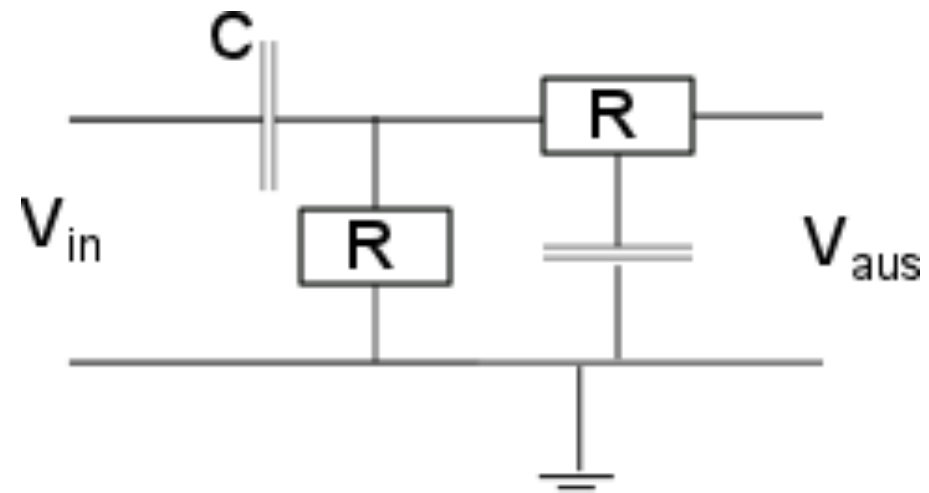


$$\frac{dV_{aus}}{dt} = -\frac{V_{aus}}{RC} + \frac{dV_{ein}}{dt}$$

$$\left| \frac{\tilde{V}_{aus}(f)}{\tilde{V}_{ein}(f)} \right| = \frac{2\pi RC f}{\sqrt{1 + 4\pi^2 R^2 C^2 f^2}}$$

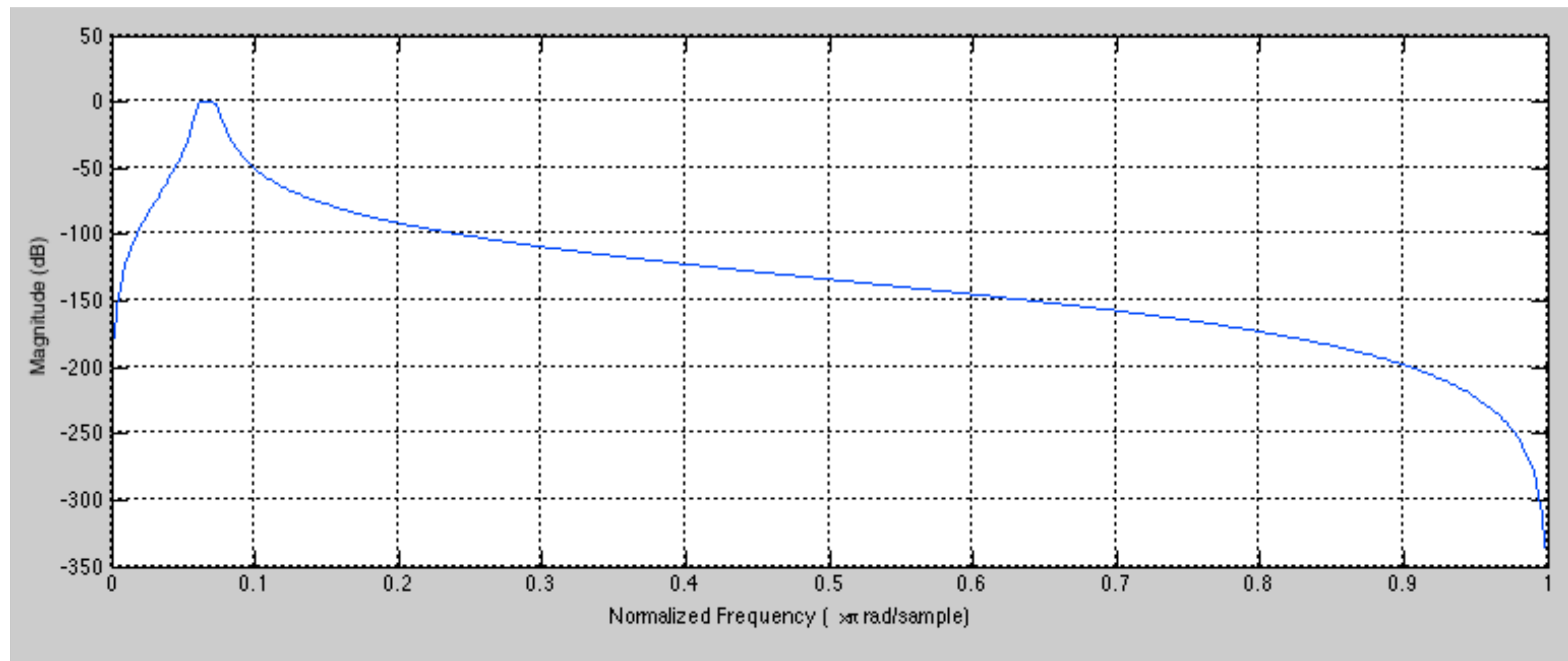


Bandpass Filter:

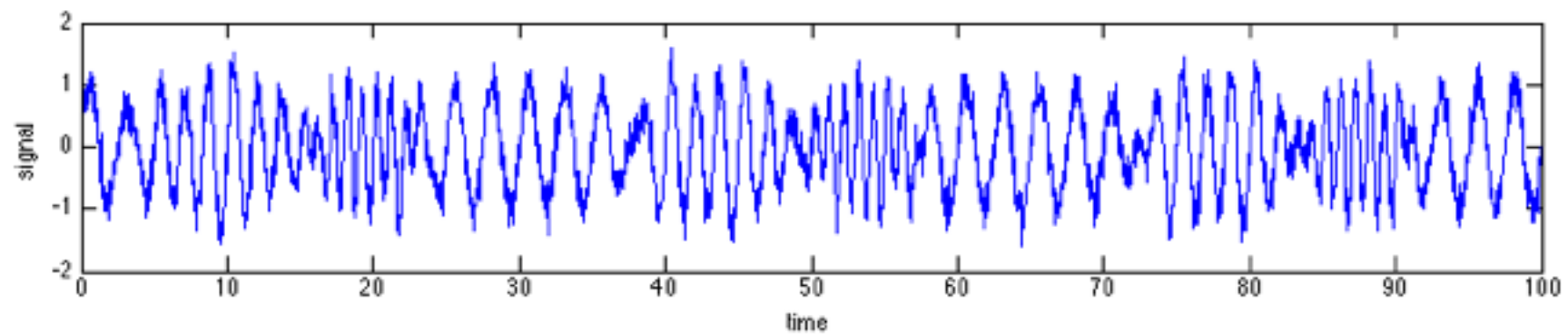


Beispiel: Bandpassfilter

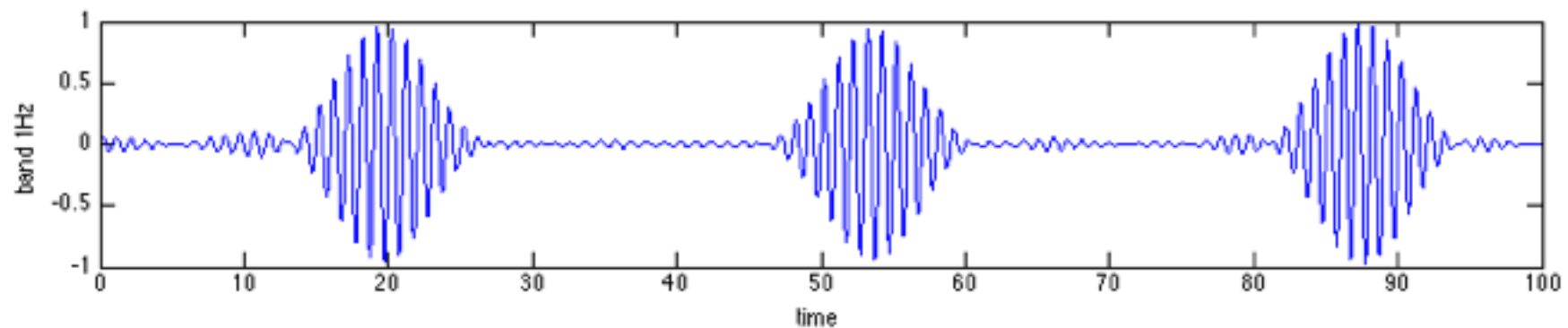
Typ: Butterworth, 4. Ordnung



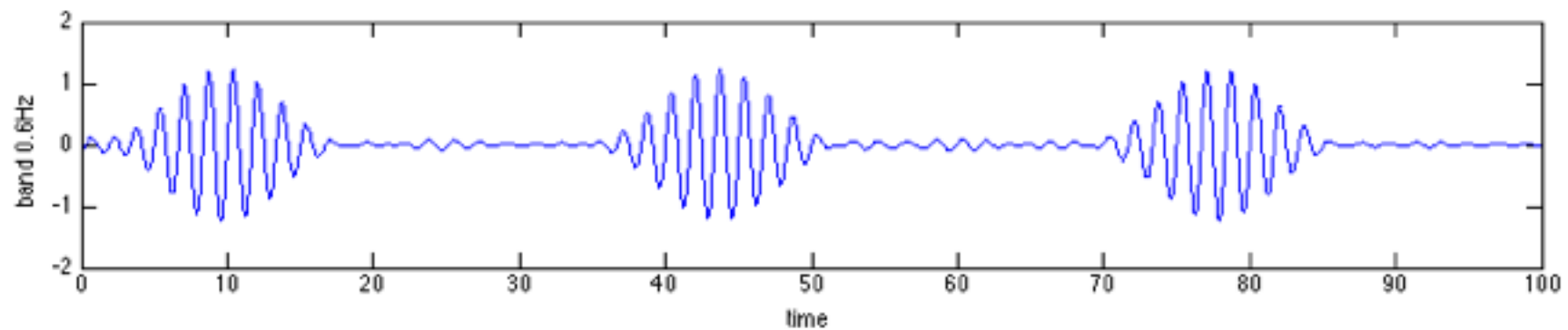
Anwendung von Bandpassfilter auf künstliches Signal



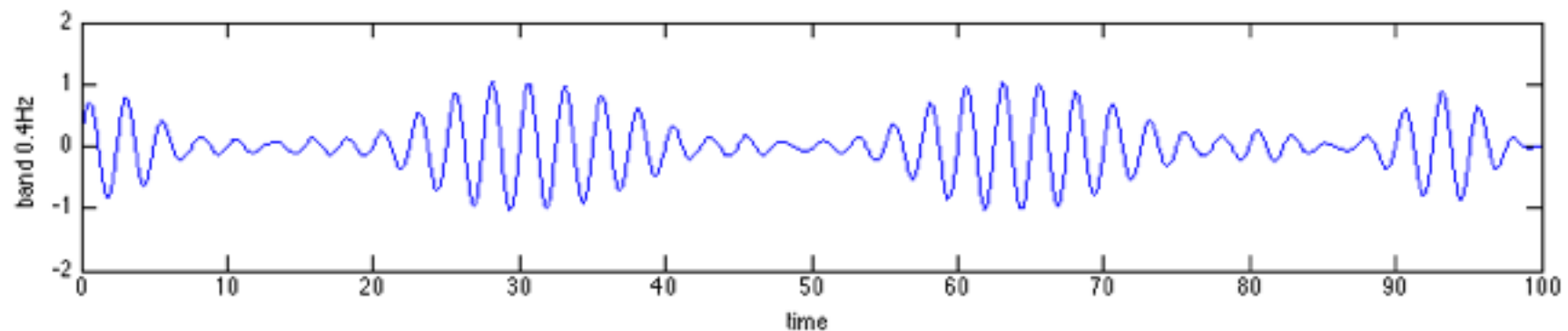
cut-off bei
0.9Hz und 1.1Hz



cut-off bei
0.5Hz und 0.7Hz



cut-off bei
0.3Hz und 0.5Hz



(TF_10.m)

- Frequenzbandbreite definiert zeitliche Korrelationen
- Frequenzbandbreite / zeitliche Korrelationslänge
identisch in allen Frequenzen

- falls die Impulsantwort-Funktion hat
Filter heißt

$$s(t) = \int_0^{\infty} H(\tau) I(t - \tau) d\tau$$

- falls die Impulsantwort-Funktion *finite* Dauer hat:
Filter heißt **Finite Impulse Response (FIR)** - Filter

$$s(t) = \int_0^T H(\tau) I(t - \tau) d\tau$$

Beispiel: Tiefpassfilter

Savitzky-Golay Filter (FIR)

Ziel:

ein Signal soll **entrauscht** werden durch
optimale Anpassung einer deterministischen Funktion

Wenn Signal $x(t)$ die Dauer T hat, dann ist das gefilterte Signal $y(t)$

$$y(t) = \int_{-\tau_m/2}^{\tau_m/2} H(\tau) x(t - \tau) d\tau \quad , \quad \tau_m \leq t \leq T - \tau_m$$

oder

$$y_n = \sum_{k=-(m-1)/2}^{(m-1)/2} H_k x_{n+k}$$

- man transformiert das Signal in einem Fenster um den Zeitpunkt t (bzw. n) mit Fensterbreite τ_m (bzw. $m-1$)
- man kann ein Modell des Signals s in diesem Fenster ableiten

Idee:

$$\begin{aligned} \text{Signal } s(t_n) = s_n \quad & s_n = \sum_{k=1}^m a_k n^k + e_n \\ \rightarrow s_n - \sum_{k=1}^m a_k n^k &= e_n \quad \sum_{n=1}^N e_n^2 = \min \end{aligned}$$

$$V = \sum_{n=0}^N \sum_{k=0}^m (a_k n^k - s_n)^2 = \min$$

$$\frac{\partial V}{\partial a_l} = 0 :$$

$$\frac{\partial V}{\partial a_l} = \sum_{n=0}^N \sum_{k=0}^m 2 (a_k n^k - s_n) \frac{\partial (a_k n^k)}{\partial a_l}$$

$$= \sum_{n=0}^N \sum_{k=0}^m 2 (a_k n^k - s_n) n^k \delta_{kl}$$



$$\sum_{k=0}^m \sum_{n=0}^N n^{l+k} a_k = \sum_{n=0}^N n^l s_n$$

man definiert nun

$$n^l = A_{ln}$$

$$\mathbf{A} \in \mathcal{R}^{m \times N}$$

$$\sum_{n=0}^N A_{ln} A_{kn} = \sum_{n=0}^N n^{l+k} = (\mathbf{A} \mathbf{A}^t)_{jk}$$

$$\mathbf{A} \in \mathcal{R}^{m \times N}$$

$$\sum_{k=0}^m (\mathbf{A} \mathbf{A}^t)_{lk} a_k = \sum_{n=0}^N A_{ln} s_n$$

$$\mathbf{A} \mathbf{A}^t \mathbf{a} = \mathbf{A} \mathbf{s}$$

$$\mathbf{a} \in \mathcal{R}^m$$

$$\mathbf{s} \in \mathcal{R}^N$$

$$\begin{aligned} \mathbf{a} &= (\mathbf{A} \mathbf{A}^t)^{-1} \mathbf{A} \mathbf{s} \\ &= \mathbf{H} \mathbf{s} \end{aligned}$$

$$\mathbf{H} = (\mathbf{A} \mathbf{A}^t)^{-1} \mathbf{A} \in \mathcal{R}^{m \times N}$$

$$s_n = \sum_{k=1}^m a_k n^k + e_n$$

$$\tilde{\mathbf{s}} = \mathbf{a}^t \mathbf{A} \approx \mathbf{s}$$

mean least-square - Schätzung des Modells

$$\tilde{\mathbf{s}}^t = (\mathbf{A}^t \mathbf{H}) \mathbf{s}$$

Impulsantwort-Matrix $\mathbf{A}^t \mathbf{H}$

Beispiel: Glättungsfilter vom Typ *moving average*

$$\tilde{s}_n = \frac{1}{2M+1} \sum_{j=-M}^M s_{n-j}$$

$$= \frac{1}{2M+1} \sum_{k=n-M}^{n+M} s_k$$

$$= \sum_{k=-N/2}^{N/2} P_{nk} s_k$$

$$\mathbf{P} = \mathbf{A}^t \mathbf{H}$$

$$P_{nk} = \begin{cases} \frac{1}{2M+1} & , \quad n-M \leq k \leq n+M \\ 0 & , \quad sonst \end{cases}$$

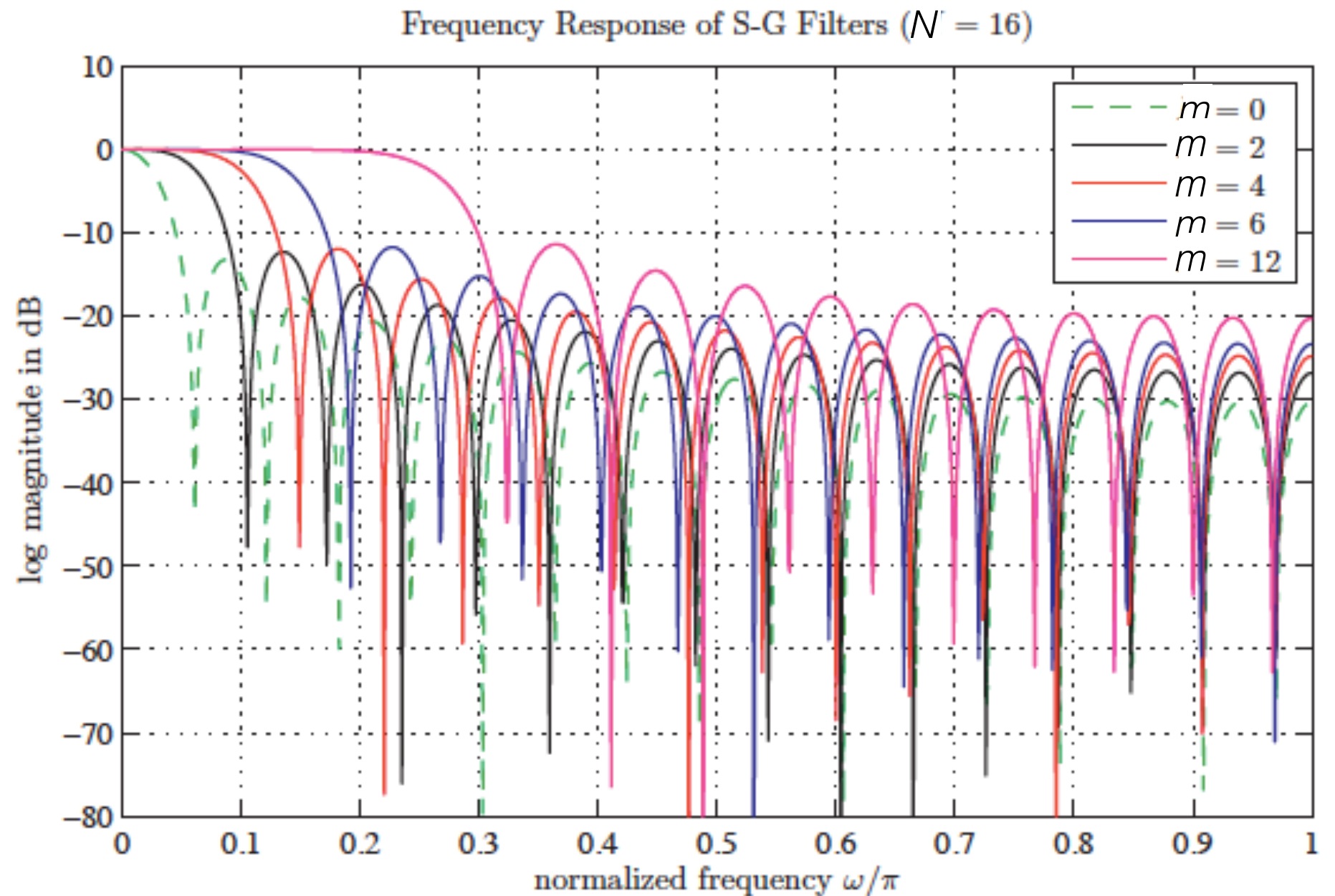
Zeitfenster: $N=2M$ Polynomialgrad: $m=0$

im Allgemeinen:

Parameter sind *Länge des Zeitfensters* (N) und *Polynomialgrad* (m)

$$|\mathcal{F}[\mathbf{A}^t \mathbf{I}]$$

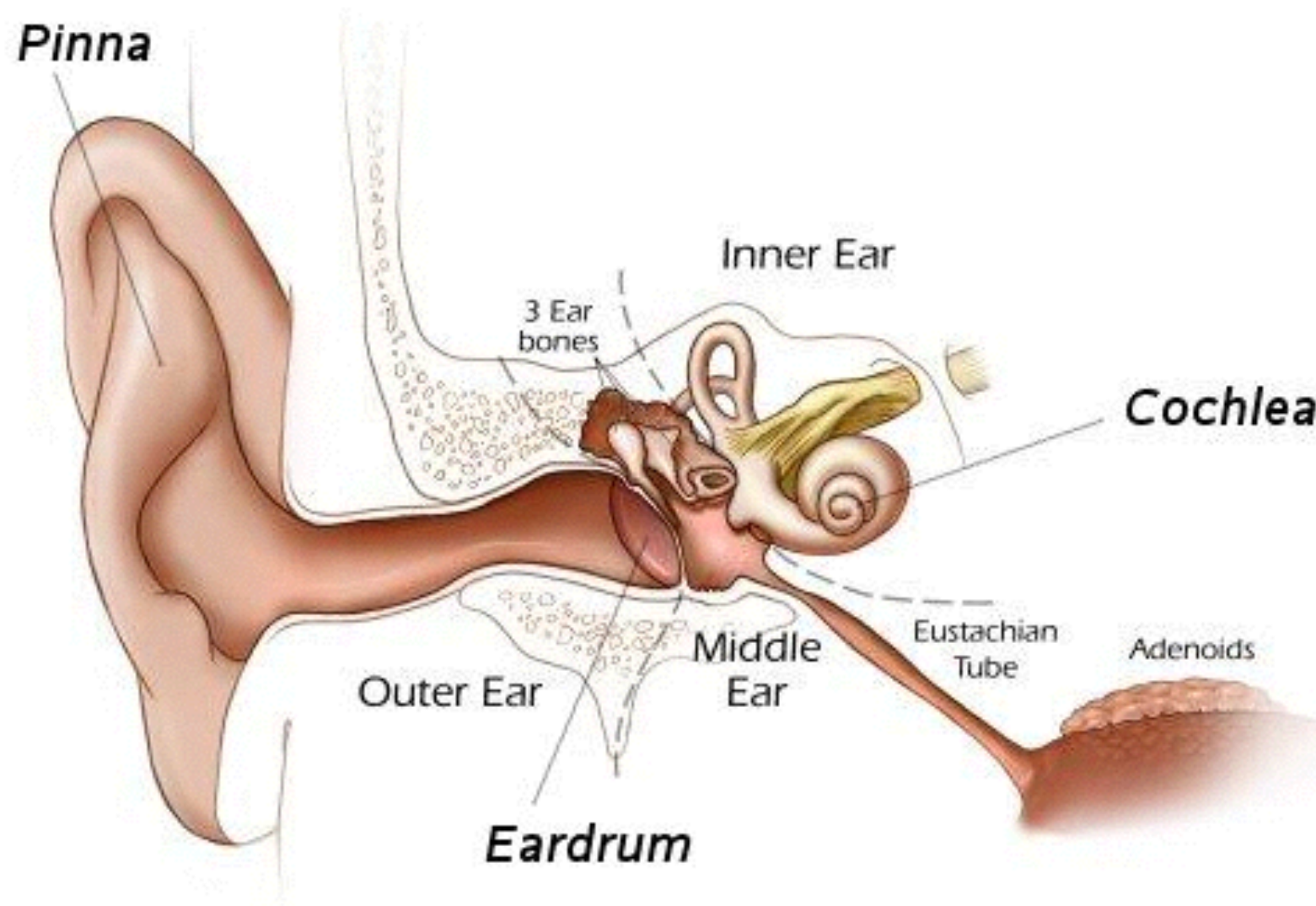
Tiefpassfilter



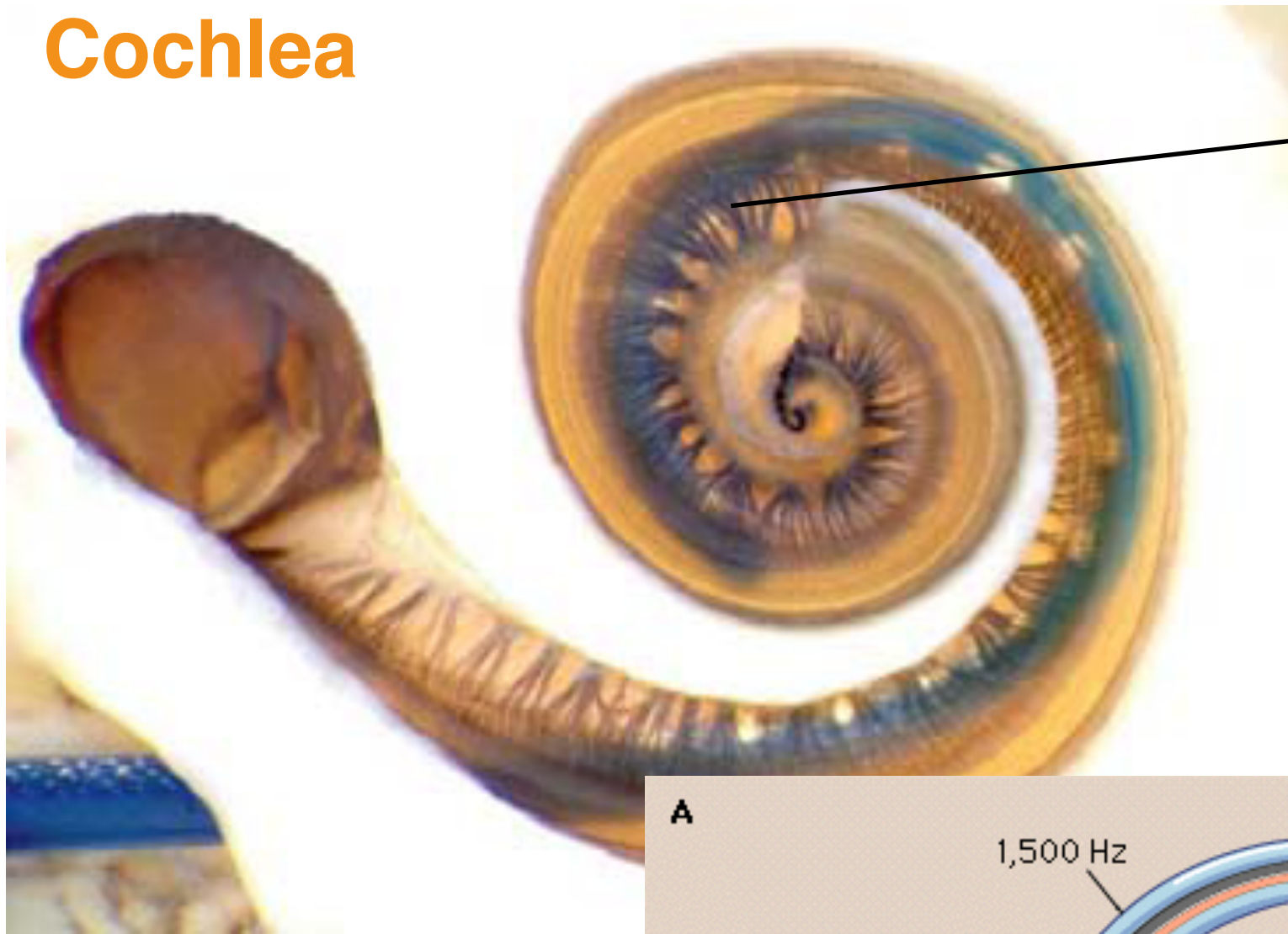
=m

(aus R. Schafer, *On the Frequency-Domain Properties of Savitzky-Golay Filters*, HP-Bericht)

In Biologie: **Frequenzfilter im Innenohr**

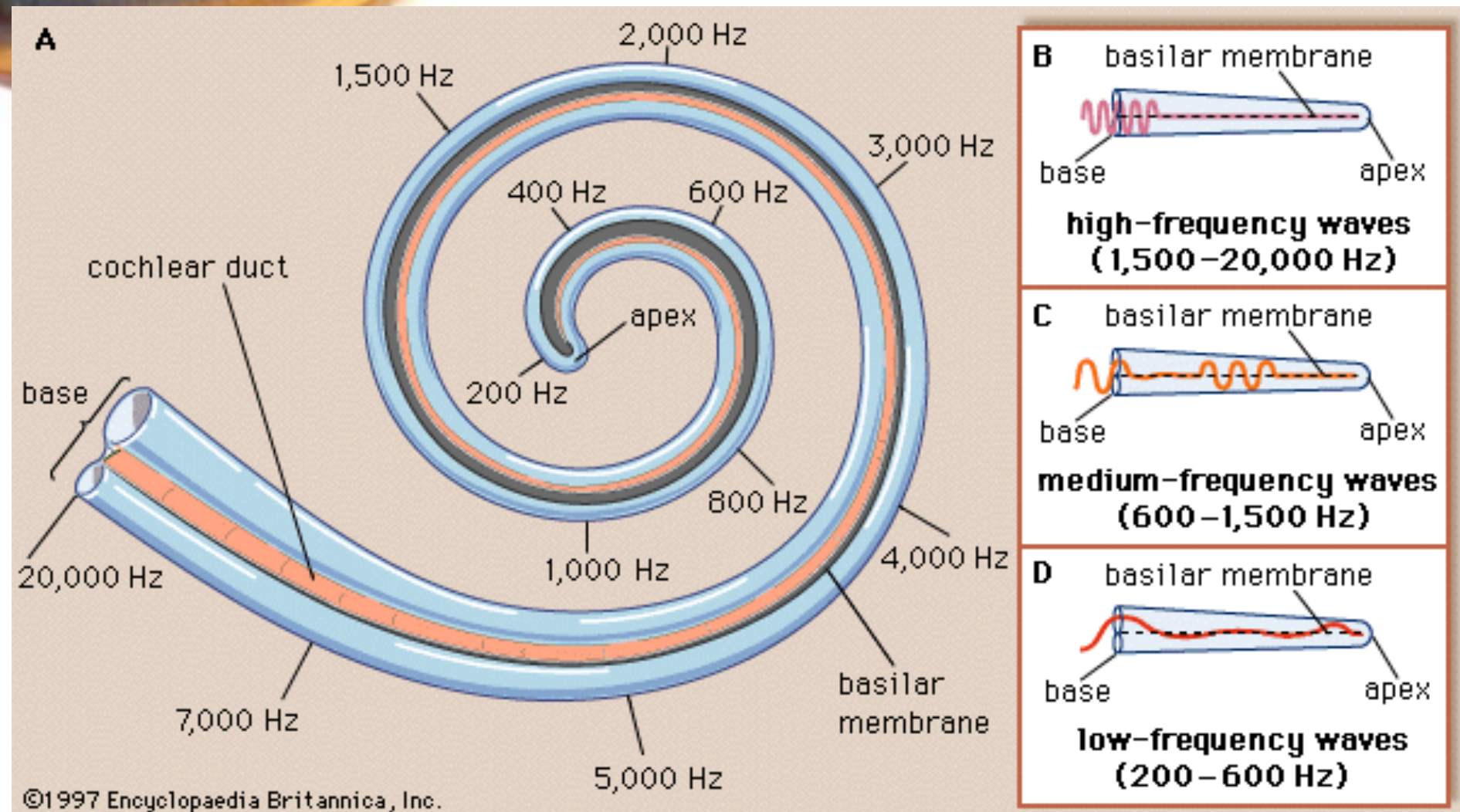


Cochlea



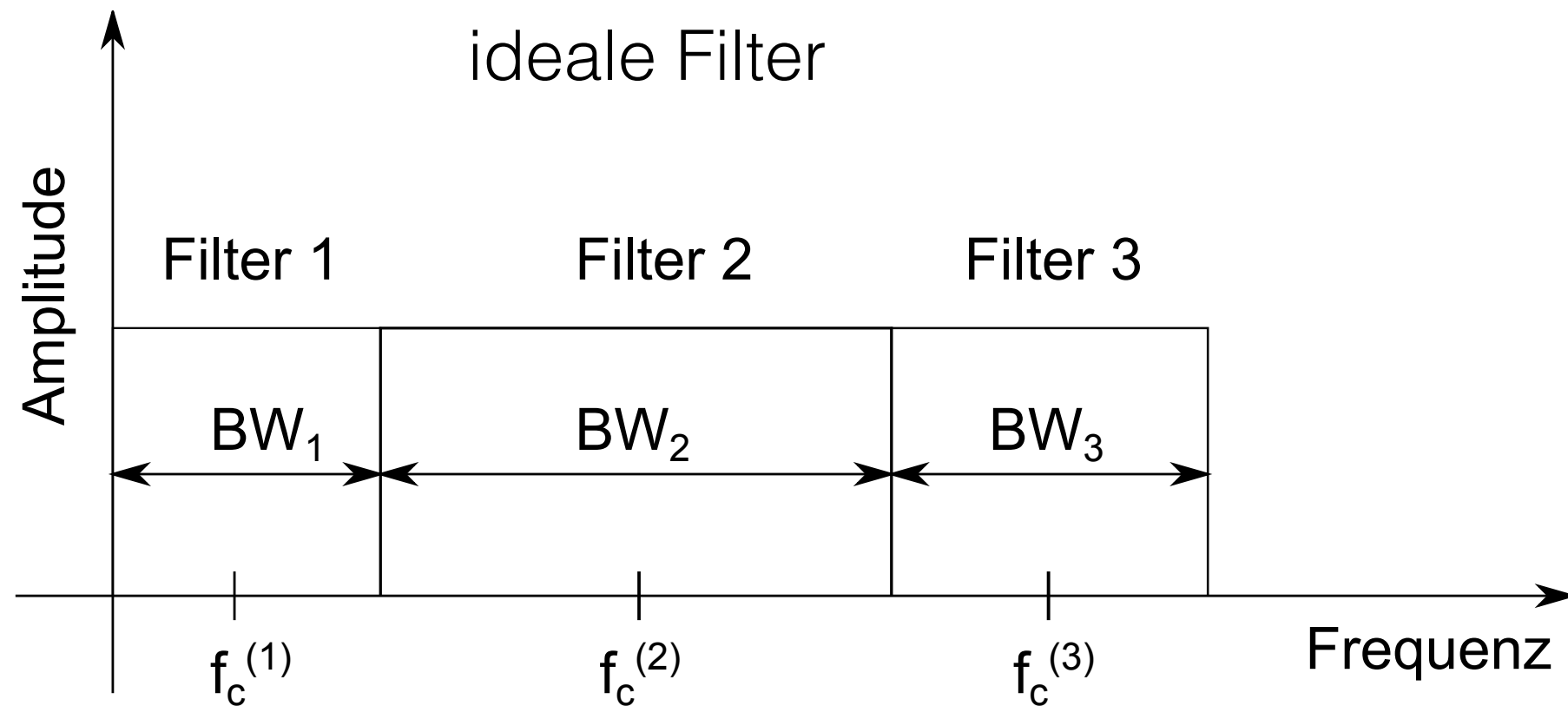
Haarzellen

Frequenzkodierung



- Dekodierung von verschiedenen Frequenzen (16Hz-20kHz beim Menschen)
- Dekodierung erfolgt an verschiedenen Orten in Cochlea
- Haarzellen in Cochlea **filtern Signale in verschiedenen Frequenzbändern**
- Gehirn setzt Signale in Frequenzbändern zusammen

Struktur der Frequenzfilter



Filter sind nicht-überlappende Bandpass-Filter

BW : *band-width* = Frequenzbreite des Bandpasses

f_c : *center frequency* = Zentrumsfrequenz des Bandpasses

Filter des menschlichen Hörsystems:

- decken vollen Hörbereich ab
- Hörbereich deckt bis zu 12 Oktaven ab
- Oktaven :
Frequenzintervall dessen Ränder im Verhältnis 2:1 stehen

Filterbank

Definition:

- System generiert Satz von Signalen $s_n(t)$ aus einem Signal $s(t)$
- Signale $s_n(t)$ entsprechen einem Frequenzbereich eines Bandpassfilters n
- Frequenzbereiche decken den Frequenzumfang des Signals vollständig ab.
- der Frequenzfilter n mit Bandbreite BW_n und Zentrumsfrequenz $f_c^{(n)}$ bestimmt Signal $s_n(t)$
- implementiert in der Cochlea

Beispiel: *Third-octave* Filterbank

(gute Näherung der auditorischen biologischen Filterbank)

definiere Basis-Zentrumsfrequenz $f_c^{(0)}$

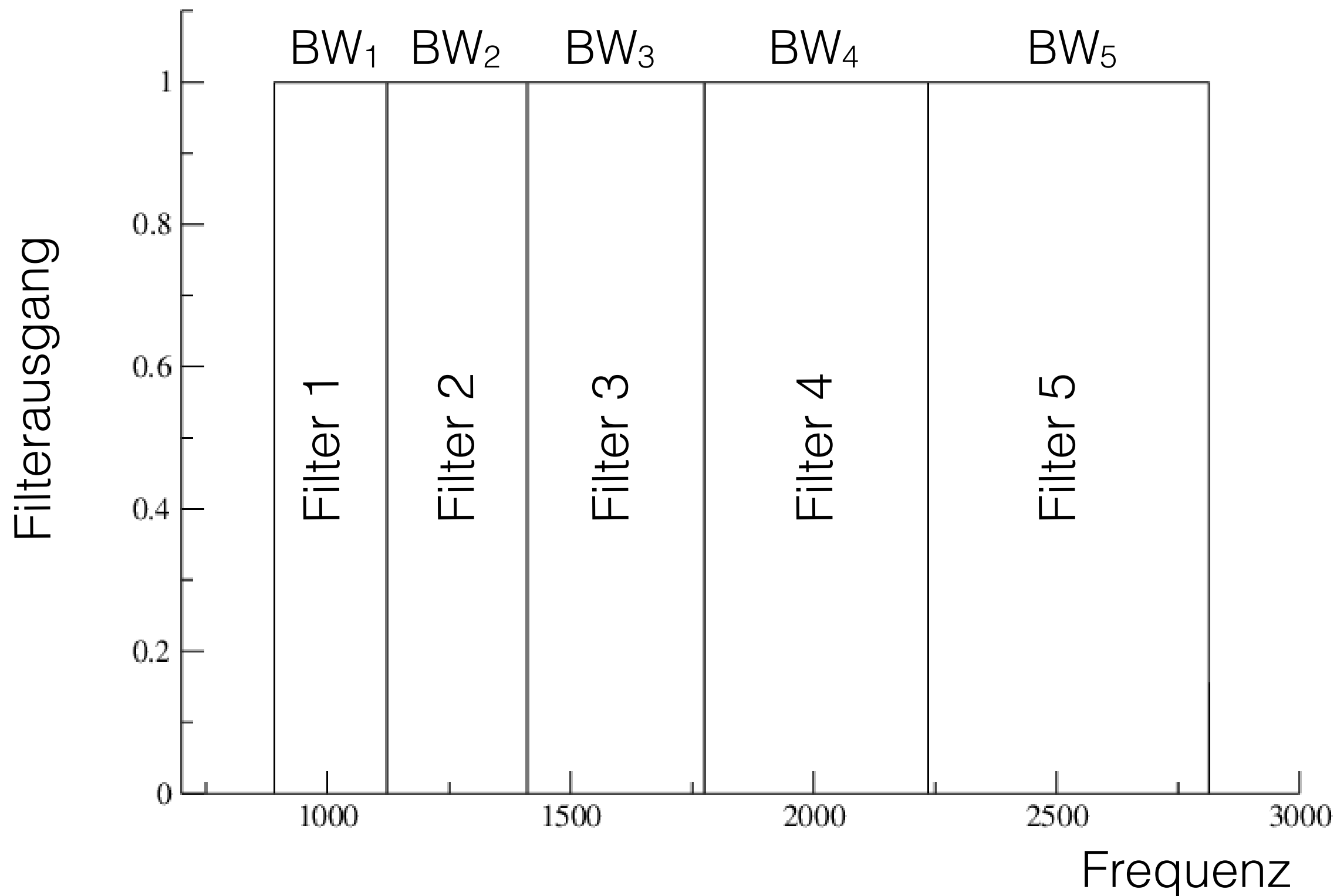
Zentrumsfrequenzen der Filter: $f_c^{(k)} = 2^{k/3} f_c^{(0)}$

Bandbreiten:

$$\begin{aligned} BW_k &= \sqrt{f_c^{(k+1)} f_c^{(k)}} - \sqrt{f_c^{(k)} f_c^{(k-1)}} \\ &= \sqrt{f_c^{(k)}} \left(\sqrt{f_c^{(k+1)}} - \sqrt{f_c^{(k-1)}} \right) \\ &= f_c^{(k)} \left(2^{1/6} - 2^{-1/6} \right) \end{aligned}$$

Quality-factor:

$$Q_k = \frac{f_c^{(k)}}{BW_k} = \text{const}$$



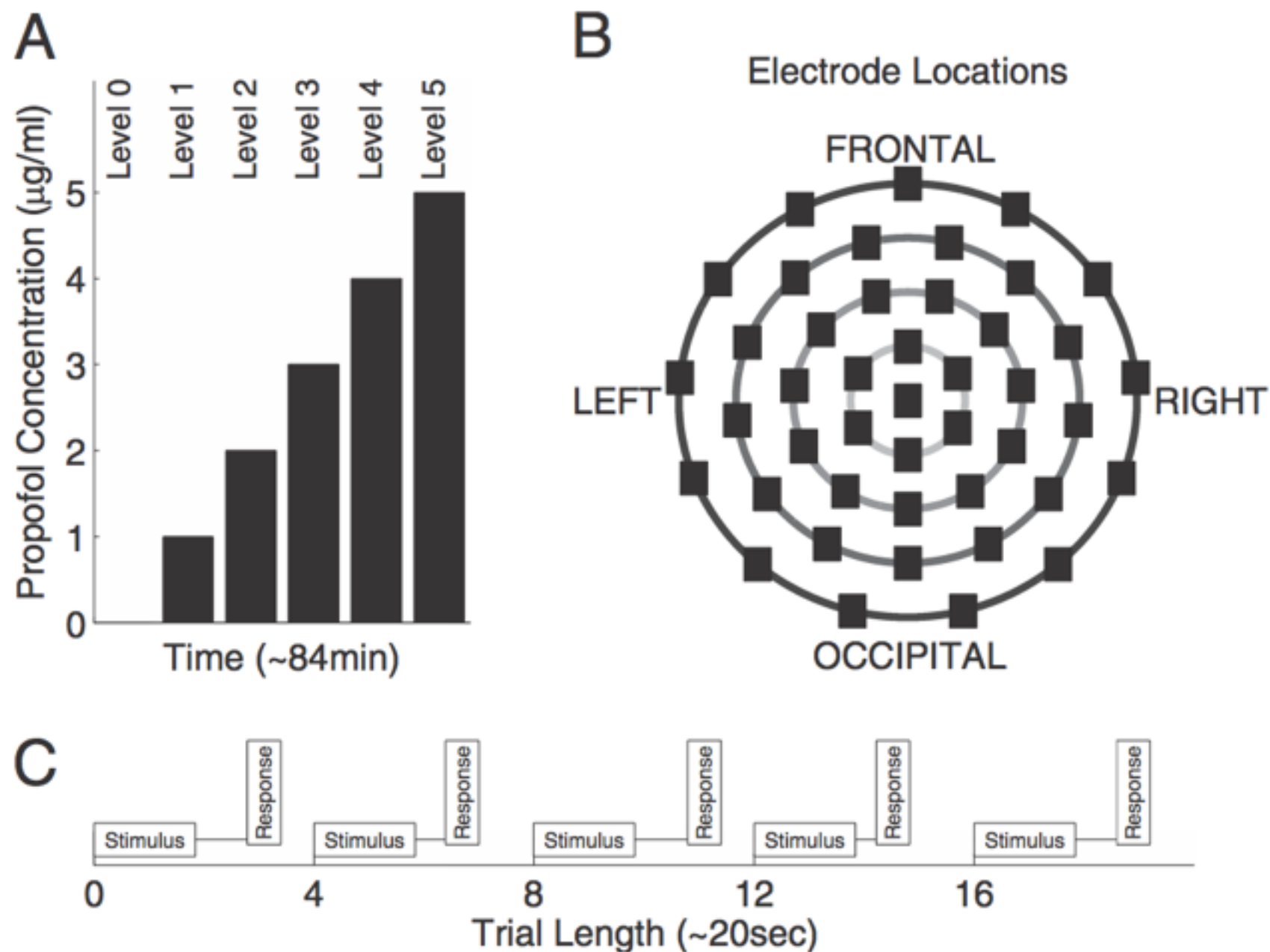
$$f_c^{(0)} = 1000\text{Hz}$$

kurze Zusammenfassung der Hauptresultate dieses Kapitels:

- Methoden sind anwendbar auf
im weiteren Sinn stationäre Signale
- Bedingungen an Analyse mittels Fourierreihe
- Sampling und endliche Zeitfenster führen zu Fehlern in Fourieranalyse
- Lineare Antwort-Theorie
- konkrete Methoden zur Berechnung des PSD
- lineare Frequenz-Filter

Wie können nun biologische Prozesse mit Messdaten zusammenhängen ?

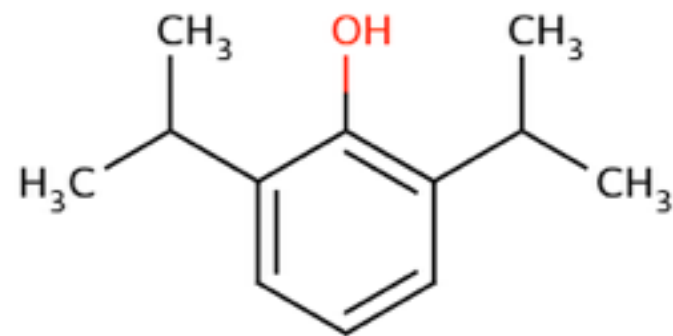
Beispiel: EEG-Experiment mit Menschen (Cimenser et al., PNAS 2010)



Was passiert dabei im Gehirn ?

mikroskopische Skala:

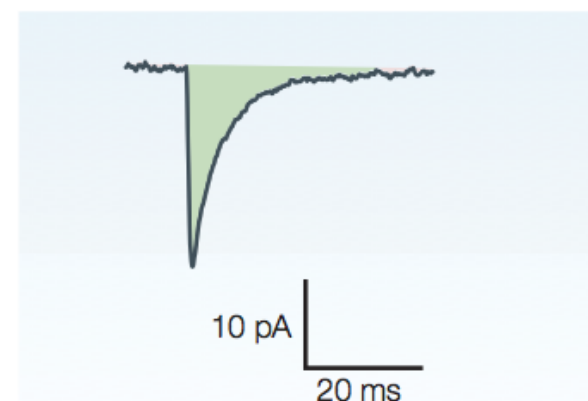
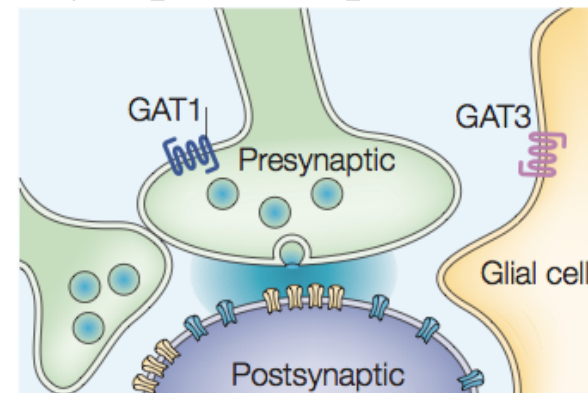
Anästhetikum Propofol



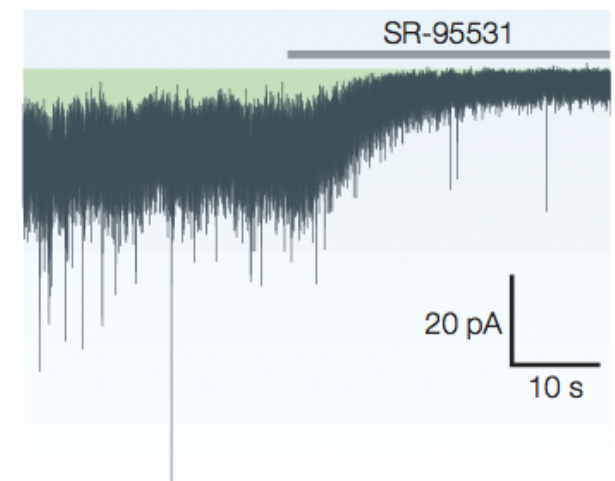
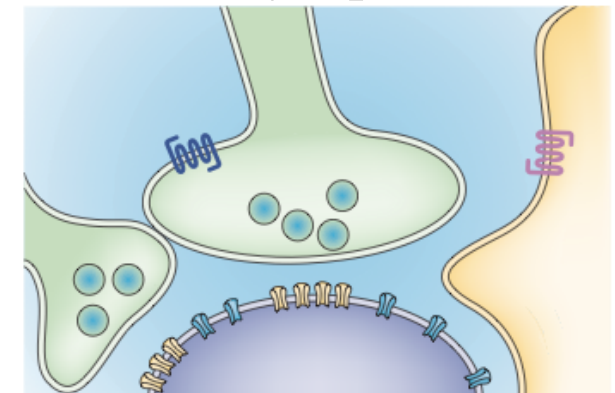
(Diisopropylphenol)

Effekte auf Synapsen

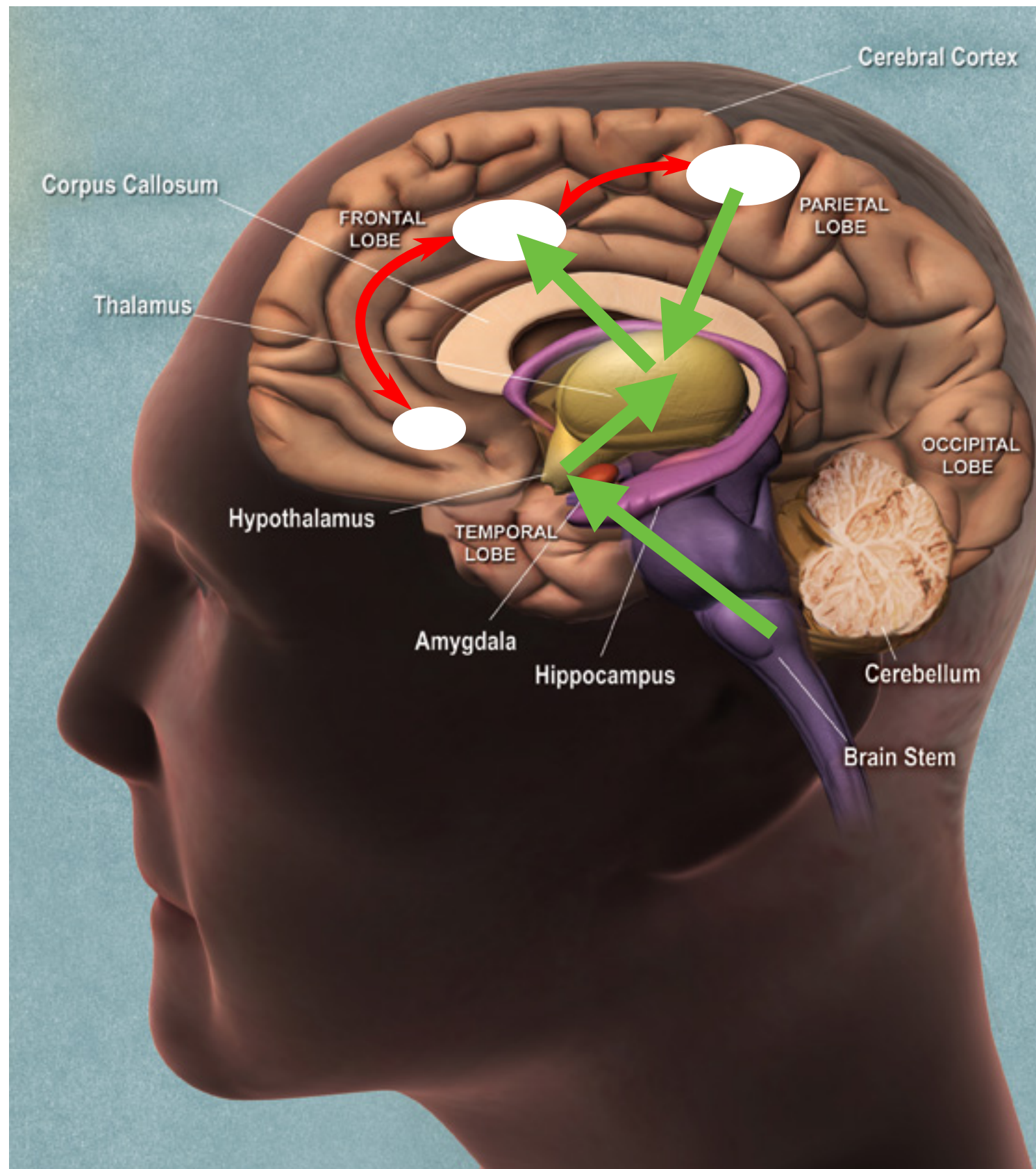
synaptic receptor action



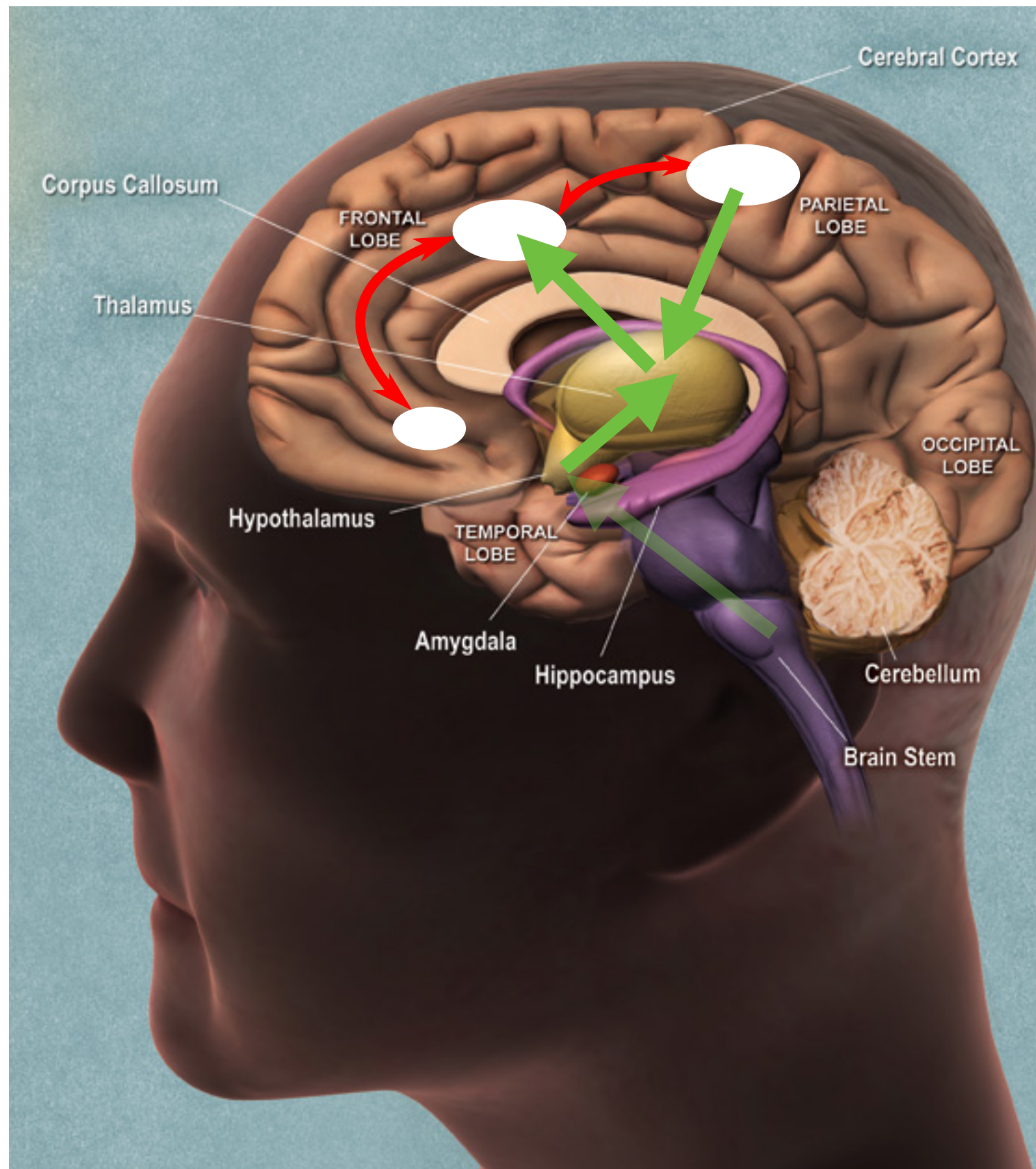
extra-synaptic action



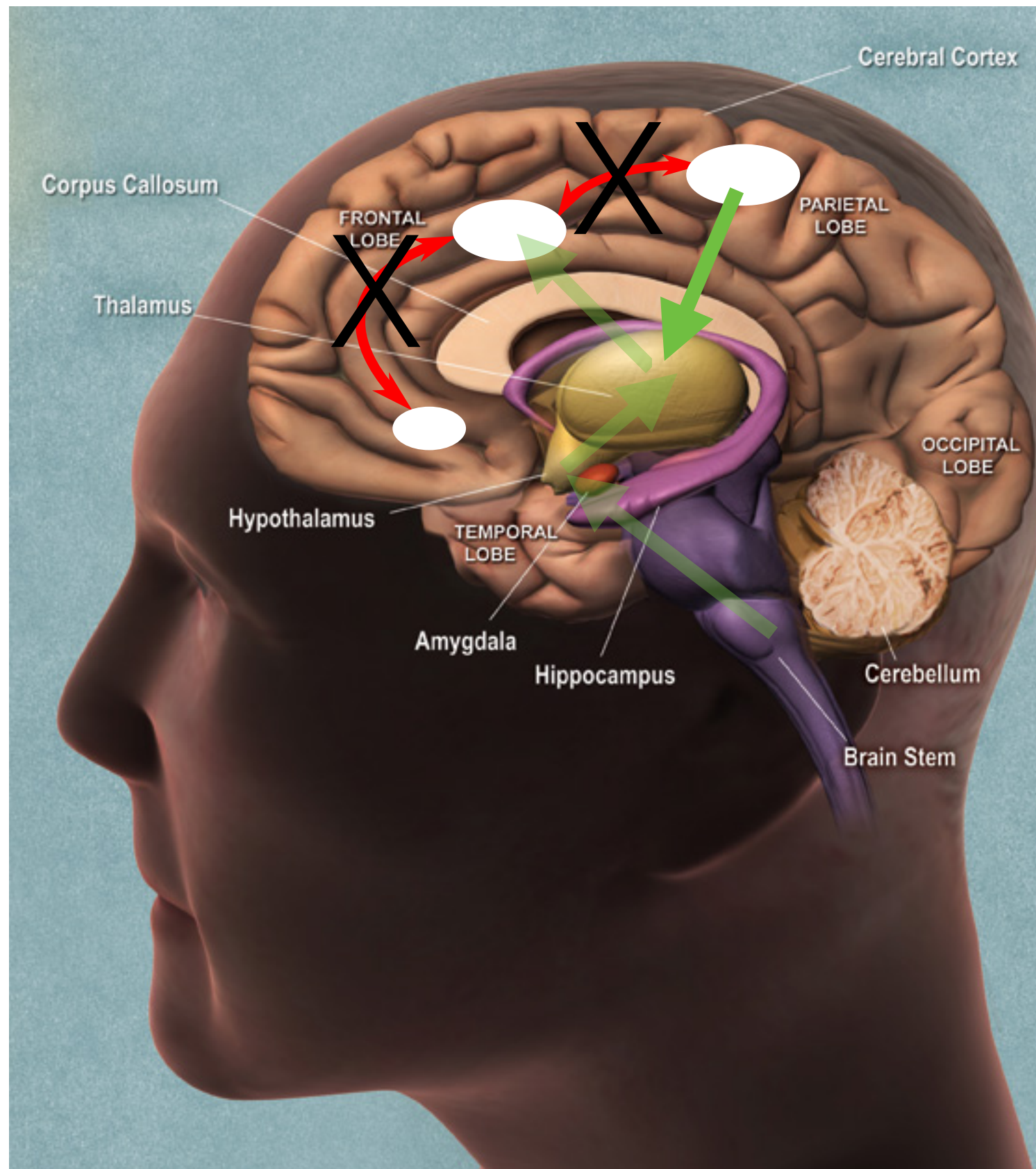
Was passiert im Gehirn bei Bewusstsein ?



Was passiert im Gehirn bei Sedierung ?



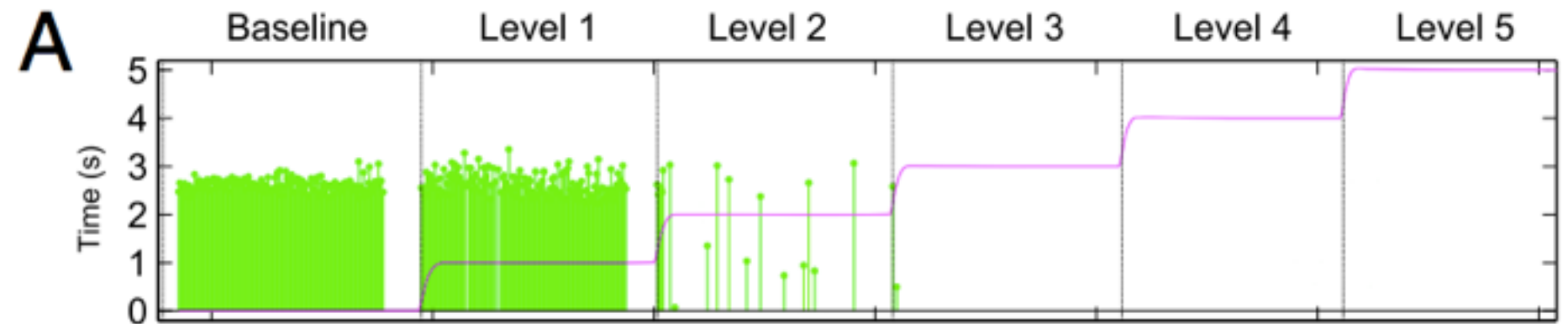
Was passiert im Gehirn in tiefer Narkose ?



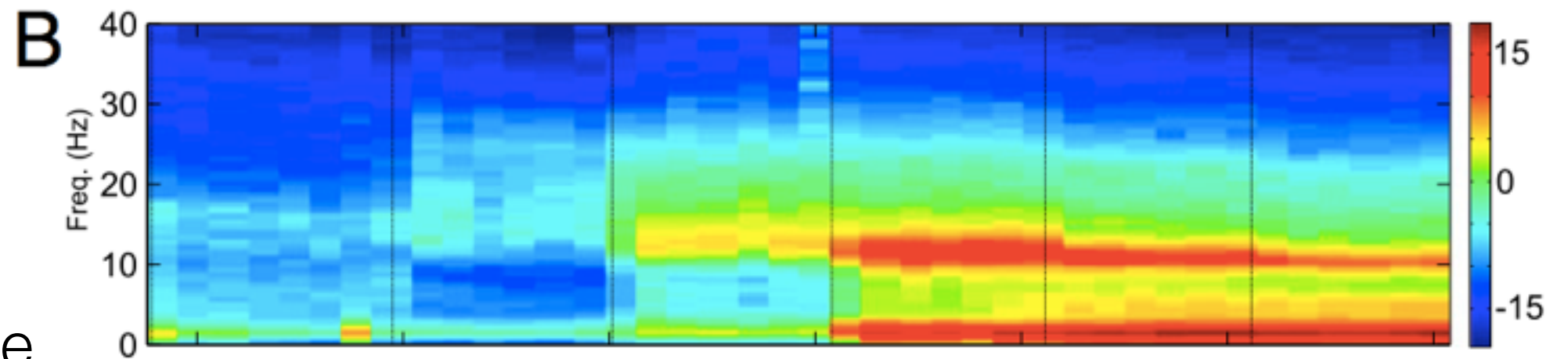
EEG-Experiment unter Anästhesie

makroskopische Skala:

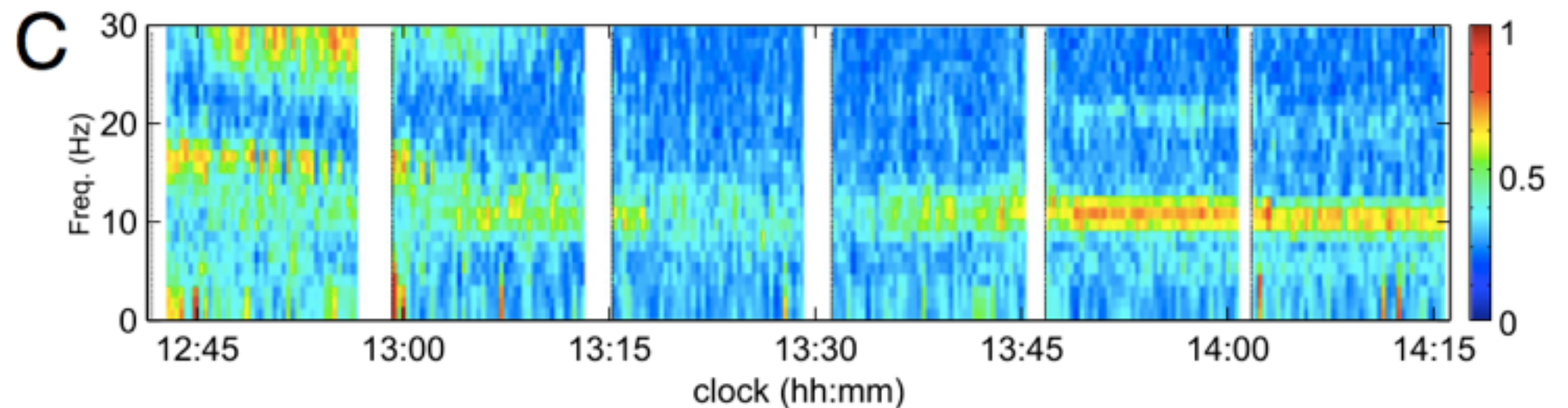
Verhalten



EEG einer
frontalen Elektrode



räumliche
Kohärenz



Erhöhung der Propofol-Konzentration



nun:

- Methoden sind anwendbar auf
im weiteren Sinn stationäre Signale
- Bedingungen an Analyse mittels Fourierreihe
- Sampling und endliche Zeitfenster führen zu Fehlern in Fourieranalyse
- Lineare Antwort-Theorie
- konkrete Methoden zur Berechnung des PSD
- lineare Frequenz-Filter